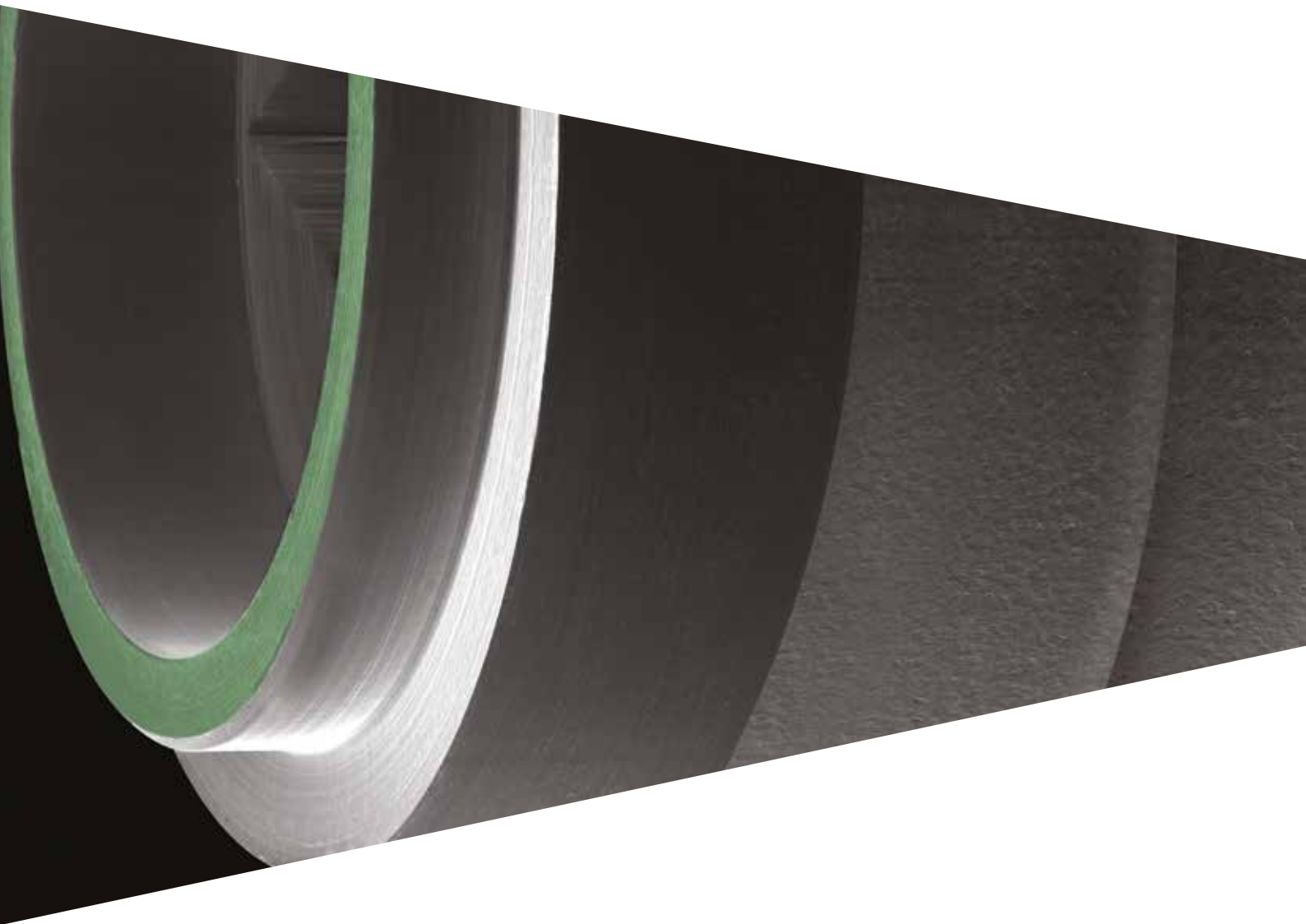


Каталог продукции

PREMIUM



PREMIUM

Содержание



Полный ассортимент имплантатов PREMIUM	4
Морфология имплантатов PREMIUM и PREMIUM SP	4
Поверхность ZrTi	5
Ассортимент PREMIUM STRAIGHT и PREMIUM SP	6
Соединительная платформа PREMIUM STRAIGHT и PREMIUM SP	8
Переключение платформ	10
Сводная таблица цветовых кодов	12
Имплантовод	14



Хирургические инструменты	16
Хирургические и ортопедические наборы	16
Хирургический набор	17
Начальное сверло, промежуточное сверло и развертка	18
Сверла конечного диаметра и стопперы	20
Сверла для дистальных отделов	22
Остеотомы	24
Метчики для формирования резьбы в костном канале	25
Дополнительные инструменты	26
Костные фрезы	33
Хирургический набор для коротких имплантатов	34



Ортопедические компоненты PREMIUM STRAIGHT и SP	38
Формирователи десны	38
Этап снятия оттисков и моделирования	40
Временные абатменты SIMPLE	44
Стандартные абатменты	48
Фрезеруемые абатменты	52
Фрезеруемые абатменты SIMPLE	54
Полностью выжигаемые абатменты	56
Протез В.О.Р.Т.	58
Литые абатменты с основанием из кобальтохромового сплава	60
Протез на промежуточных абатментах	62
P.A.D. (Непараллельный Винтовой Протез)	64
Прямые P.A.D.	65
Угловой P.A.D.	68
Протез P.A.D. для Методики "D.P.F." (Прямой Ортопедический Каркас)	70
Протез на абатментах PLAIN	72
T-CONNECT (Ти-Коннект)	74
Набор для примерки	76



Съемный зубной протез для имплантатов PREMIUM STRAIGHT и SP	78
Абатмент-локатор	78
Принадлежности для съемных зубных протезов на абатментах-локаторах	80
Съемные зубные протезы, фиксируемые с помощью шаровидных абатментов	82
Принадлежности для съемных зубных протезов на шаровидных анкерах	84
Съемные зубные протезы на балках	85



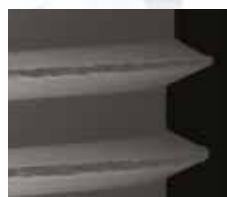
Библиография по имплантатам Sweden & Martina с 2013 года	86
---	----

Морфология имплантатов PREMIUM и PREMIUM SP

Имплантаты PREMIUM STRAIGHT и PREMIUM SP имеют разную морфологию. Поэтому всегда можно подобрать правильный вид имплантата в зависимости от анатомических особенностей костной ткани.

Ø 3.3 (Тонкий)

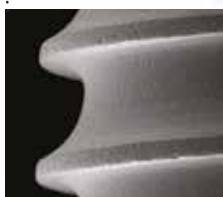
Имплантаты диаметром 3.30 мм поставляются только с фрезерованной шейкой, цилиндрической формы.



Резьба имплантатов диаметром 3.30 мм имеет треугольный профиль.

Straight (Прямой)

Все имплантаты PREMIUM STRAIGHT поставляются с фрезерованной шейкой, цилиндрической формы.



Стандартная резьба имплантатов PREMIUM имеет асимметричный профиль.

SP (Переключение платформы)

Шейка имплантатов PREMIUM SP постепенно расширяется в коронковой части имплантата, затем на уровне соединения возвращается к диаметру имплантата.



Стандартная резьба имплантатов PREMIUM SP имеет асимметричный профиль.

Поверхность ZirTi

Имплантаты PREMIUM STRAIGHT и SP поставляются с фрезерованной шейкой и телом имплантата с покрытием ZirTi.



Фрезерованная поверхность



Фрезерованная шейка имплантата обеспечивает контроль плотного соединения с абатментом, не допуская скопления мягкого зубного налета в месте соединения.

Поверхность ZirTi

(Титан кислотного травления с пескоструйной обработкой цирконием)

Тело имплантата обрабатывают специальными методами, которые придают поверхности ZirTi соответствующую структуру.

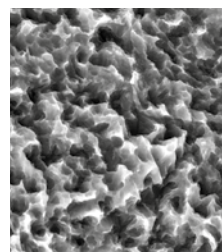


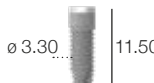
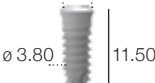


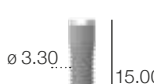

































Иллюстрация из архива Sweden & Martina.

Ассортимент PREMIUM STRAIGHT и PREMIUM SP

	3.30 мм		3.80 мм	
	STRAIGHT	SP	STRAIGHT	SP
7.00	-	-	-	-
8.50	A-ZT-330-085 	-	A-ZT-380-085 	A-ZT-380SP-085 
10.00	A-ZT-330-100 	-	A-ZT-380-100 	A-ZT-380SP-100 
11.50	A-ZT-330-115 	-	A-ZT-380-115 	A-ZT-380SP-115 
13.00	A-ZT-330-130 	-	A-ZT-380-130 	A-ZT-380SP-130 
15.00	A-ZT-330-150 	-	A-ZT-380-150 	A-ZT-380SP-150 
18.00	-	-	A-ZT-380-180 	-
Хирургические винты-заглушки.	A-VT-330 	-	A-VT-380 	Используйте A-VT-380

Импланты диаметром 3.30 мм: Импланты PREMIUM диаметром 3.30 мм используются исключительно для замены центральных и боковых резцов, а также для замены верхних и нижних кльков. Их также можно использовать в зоне премоляров и моляров, но только в качестве опоры мостовидного протеза.

	4.25 мм		5.00 мм	
	STRAIGHT	SP	STRAIGHT	SP
7.00	A-ZT-425-070 	A-ZT-425SP-070 	A-ZT-500-070 	A-ZT-500SP-070 
8.50	A-ZT-425-085 	A-ZT-425SP-085 	A-ZT-500-085 	A-ZT-500SP-085 
10.00	A-ZT-425-100 	A-ZT-425SP-100 	A-ZT-500-100 	A-ZT-500SP-100 
11.50	A-ZT-425-115 	A-ZT-425SP-115 	A-ZT-500-115 	A-ZT-500SP-115 
13.00	A-ZT-425-130 	A-ZT-425SP-130 	A-ZT-500-130 	A-ZT-500SP-130 
15.00	A-ZT-425-150 	A-ZT-425SP-150 	A-ZT-500-150 	A-ZT-500SP-150 
18.00	A-ZT-425-180 	-	-	-
Хирургические винты-заглушки.	A-VT-425 	Используйте A-VT-425	A-VT-500 	Используйте A-VT-500

Соединительная платформа PREMIUM STRAIGHT и PREMIUM SP

Цилиндрические имплантаты PREMIUM STRAIGHT (с цилиндрической шейкой имплантата) и PREMIUM SP (с расширенной шейкой имплантата) имеют одну ортопедическую платформу, что облегчает работу врача-ортопеда.



STRAIGHT

SP



Коническая фаска

Расширение, образованное конической скошенной шейкой в имплантатах SP позволяет отдалить альвеолярную кость от соединения имплантат-абатмент в горизонтальной и в вертикальной плоскостях.

Таким образом, осуществляется функция переключения платформ.

Опорное кольцо

Имплантаты диаметром более 3.30 мм в верхней части шейки имплантата имеют опорное кольцо, которое обеспечивает максимальную стабильность соединения и помогает правильному распределению жевательной нагрузки по всей окружности имплантата. Оно также создает стабильное соединение с абатментом.

Внутренняя часть опорного кольца обеспечивает безопасную и легкую установку имплантовода.

Внутренний шестигранник

Расположенный в коронковой части, он характеризуется хорошей видимостью. Смена положения под углом 60 ° и полное погружение шестигранника обеспечивают отсутствие вращения и высокую точность.

Соединение PREMIUM диаметром 3.30 мм



Опорное кольцо

В имплантатах Premium диаметром 3.30 мм внутреннее опорное кольцо выполняет ту же функцию стабилизации абатмента, что и внешнее опорное кольцо во всех остальных вариантах диаметра имплантата.

Внутренний шестигранник

Расположенный в коронковой части, характеризуется хорошей видимостью. Возможность смены положения абатмента под углом 60° и четкое соединение обеспечивают отсутствие вращения и высокую точность.

Размеры шестигранника такие же, как в имплантатах диаметром 3.80 мм.

Общие черты соединения

Тот же самый шестигранник, но в диаметре 3.30 имеет опорное кольцо расположенное внутри платформы.



PREMIUM \varnothing 3.30 мм.



PREMIUM \varnothing 3.80 мм.



PREMIUM \varnothing 4.25 мм.

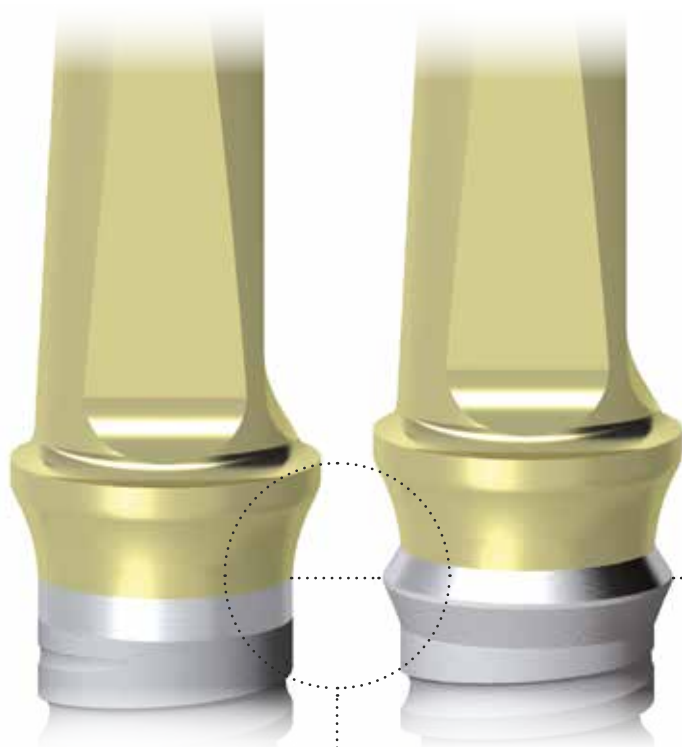


PREMIUM \varnothing 5.00 мм.

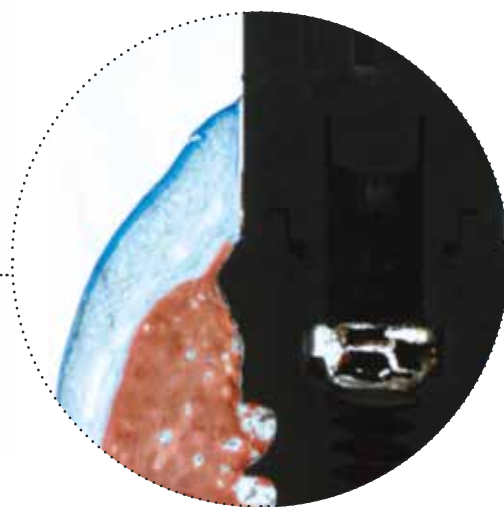
При таких диаметрах имплантата шестигранник такой же, внутренний диаметр опорного кольца поверх шестигранника один и тот же, но он расширяется в наружном направлении в различных диаметрах имплантата.

Переключение платформ

Переключение платформ - техника ортопедического восстановления коронковой части зуба, которая обеспечивает отсутствие контакта альвеолярной кости с соединением имплантат-абатмент, в области шейки имплантата.



Супраструктуры одного диаметра подходят к имплантатам PREMIUM STRAIGHT и PREMIUM SP. Техника переключения платформ, которая используется в данном случае, обусловлена особенностью строения имплантата.

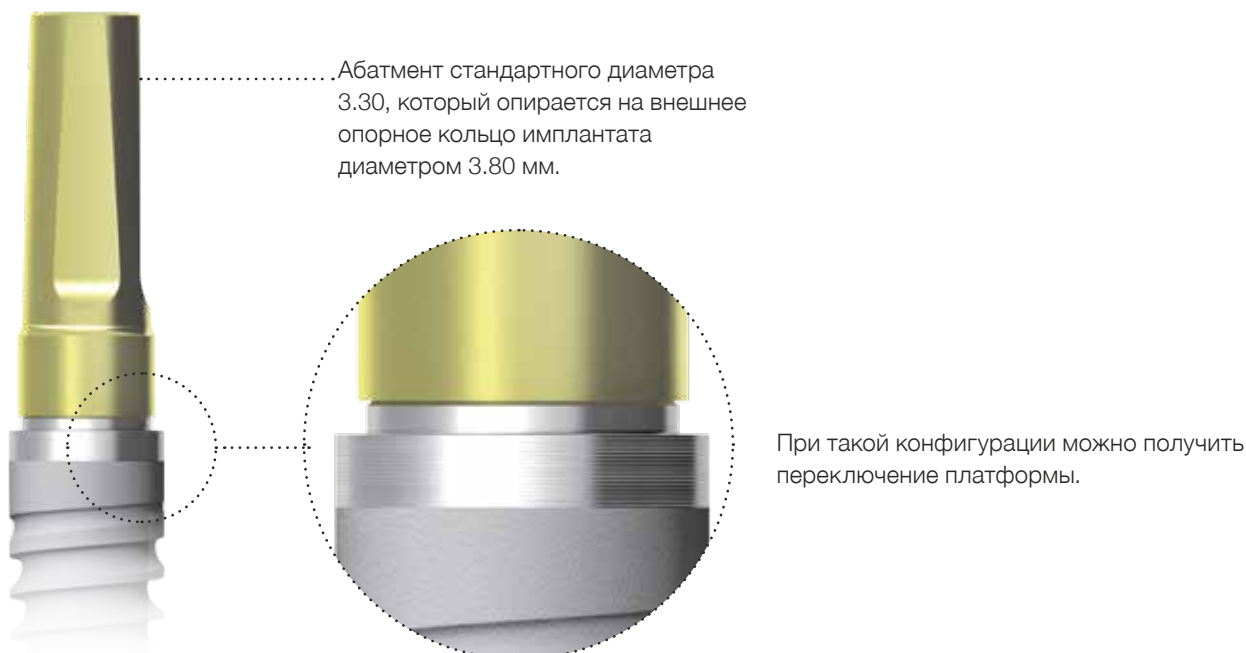


Имплантат Premium SP спустя 4 месяца после установки.
Изображение любезно предоставлено Dr. D. Botticelli



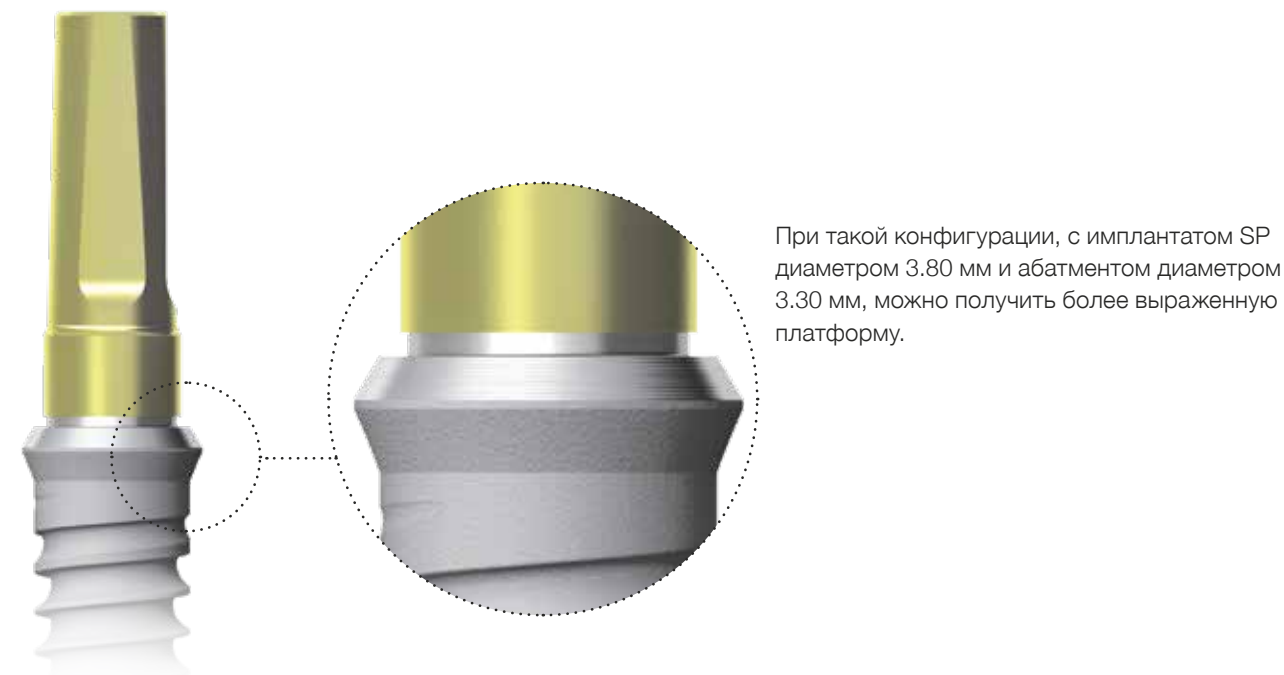
Переключение платформы на имплантатах PREMIUM STRAIGHT диаметром 3.80 мм

Можно использовать ортопедическую технику переключения платформы на имплантатах диаметром 3.80 мм, используя абатмент меньшего диаметра (3.30 мм).



Переключение платформы на имплантатах PREMIUM SP диаметром 3.80 мм





































Для того чтобы максимизировать несоответствие между уровнем альвеолярной кости и соединением имплантат-абатмент, можно использовать имплантат SP и абатмент меньшего диаметра, как показано на рисунке ниже.


























Важное предупреждение

Учитывая диаметр ортопедических компонентов диаметром 3.30 мм, мы рекомендуем использовать их для получения Платформы с имплантатами 3.80 мм только для одной коронки в передних отделах (исключая премоляры), в то время как в дистальных отделах они должны использоваться исключительно в качестве опоры для мостовидных протезов.

Сводная таблица цветовых кодов

Морфология имплантата.	PREMIUM STRAIGHT			
Диаметр имплантата.	3.30 STRAIGHT	3.80 STRAIGHT	4.25 STRAIGHT	5.00 STRAIGHT
Цветовой код (на упаковке).				
Ø соединительной платформы. Внешний Ø опорного кольца.				
Основные размеры.				
Цветовой код шестигранника для соединительного ключа.				
Имплантовод.				
	Шестигранник: 2.30 мм	Шестигранник: 2.30 мм	Шестигранник: 2.50 мм	Шестигранник: 2.50 мм
Стандартное сверло конечного диаметра.				
	Ø 2.80 мм	Ø 3.00 мм	Ø 3.40 мм	Ø 4.25 мм
Соединительный винт (резьба и цвет).				
	M 1.8	M 1.8	M 2.0	M 2.0
Цветовой код трансфера.				
Цветовой код аналога.				

PREMIUM SP			Морфология имплантата.
3.80 SP	4.25 SP	5.00 SP	Диаметр имплантата.
			Цветовой код (на упаковке).
			<p>Ø соединительной платформы. Внешний Ø опорного кольца.</p> <p>Основные размеры.</p>
			Цветовой код шестигранника для соединительного ключа.
			Имплантовод.
Шестигранник: 2.30 мм	Шестигранник: 2.50 мм	Шестигранник: 2.50 мм	
			Стандартное сверло конечного диаметра.
Ø 3.00 мм	Ø 3.40 мм	Ø 4.25 мм	
			Соединительный винт (резьба и цвет).
M 1.8	M 2.0	M 2.0	
			Цветовой код трансфера.
			Цветовой код аналога.

Имплантовод

Для установки имплантата используется имплантовод. Он входит в соединение с имплантатом с помощью специально разработанных захватов, которые способствуют легкому введению имплантата и гарантируют безопасный захват.

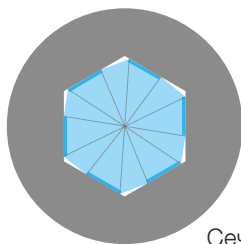


Цветовой код на хвостовике инструмента и на удерживающих металлических кольцах облегчает идентификацию и выбор необходимого изделия.

Имплантоводы для легкой установки улучшают видимость операционного поля, не занимают много места и позволяют надлежащим образом регулировать соединительный шестигранник, поскольку их визуальный индекс шестигранника такой же, как ортопедический индекс.

Чрезвычайная безопасная и надежная фиксация достигается с помощью специального титанового кольца, которое фиксируется внутри соединения.









Сечение обычного ключа.



Сечение Easy Insert.

Peñarrocha Oltra D., Rossetti P. H., Covani U., Galluccio F., Canullo L.
Микробиологическое проникновение в соединение имплантат-абатмент из-за маневра введения имплантата: исследование через 5 лет после загрузки у здоровых пациентов
Journal of Oral Implantology 2015 Dec; 41(6): e292-6. doi: 10.1563

Имплантоводы для легкой установки поставляются с двумя разными шестигранниками, которые обозначены синим и малиновым цветом, что позволяет использовать их в соответствии с соединениями имплантатов.

	ø 3.30 мм	ø 3.80 мм	ø 4.25 мм	ø 5.00 мм
PREMIUM STRAIGHT				
PREMIUM SP				

Синие ключи используются для имплантатов диаметрами 3.30 мм и 3.80 мм, в то время как малиновые ключи используются для больших диаметров (диаметры 4.25 и 5.00 мм).

Расшифровка кодов имплантатов

Коды имплантата - так называемые «мнемонические» коды, то есть позволяющие легко идентифицировать детали. В приведенной ниже таблице в качестве примера показаны принципы работы мнемонических кодов на основе кода A-ZT-425SP-115:

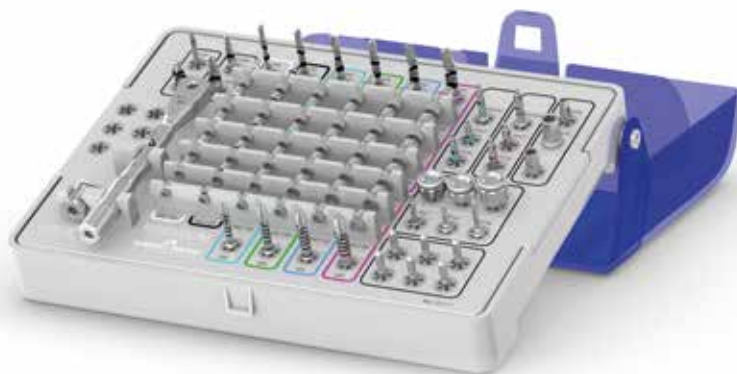
Тип имплантата	Поверхность	Диаметр	Выступ	Длина
A-	ZT-	425	SP-	115
A: имплантат PREMIUM.	ZT: Поверхность ZrTi.	330: 3.30 мм 380: 3.80 мм 425: 4.25 мм 500: 5.00 мм Это размер платформы соединения имплантата.	SP: Смена платформы При отсутствии спецификаций это указывает на стандартное прямое соединение STRAIGHT.	060: 6.00 мм 070: 7.00 мм 085: 8.50 мм 100: 10.00 мм 115: 11.50 мм 130: 13.00 мм 150: 15.00 мм 180: 18.00 мм Относится к длине имплантата.

Хирургические и ортопедические наборы

Имплантат не требует монтажного устройства для установки в зону имплантации, поскольку он вставляется напрямую в соединение с использованием практичных ключей для легкой установки, которые были специально разработаны для того, чтобы гарантировать безопасный захват.

ХИРУРГИЧЕСКИЙ НАБОР PREMIUM

В хирургическом наборе содержатся инструменты необходимые для установки всей линейки имплантатов PREMIUM (STRAIGHT и SP).



ХИРУРГИЧЕСКИЙ НАБОР

Для установки коротких имплантатов

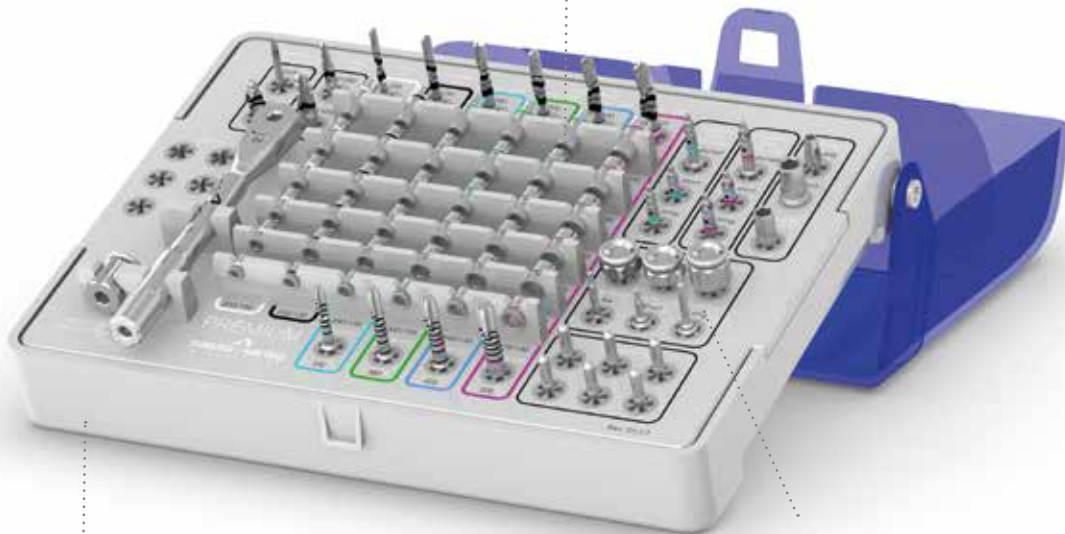


Набор инструментов многоразового пользования для установки коротких имплантатов.

Хирургический набор

Хирургический набор для системы имплантатов PREMIUM был разработан для максимальной простоты и эргономики.

Стандартный хирургический набор содержит стопперы, которые позволяют безопасно использовать сверла. Данные стопперы чрезвычайно практичны, поскольку позволяют вручную устанавливать и удалять стопперы в направлении от кончика к хвостовику.



Хирургический набор PREMIUM содержит все хирургические и ортопедические инструменты, которые необходимы для установки всех имплантатов семейства PREMIUM (STRAIGHT и SP).

Коды инструмента напечатаны на лотке, что позволяет ассистентам легко возвращать их на свои места после уборки и очистки.

Описание

Хирургический набор инструментов, необходимых для имплантатов PREMIUM STRAIGHT и SP.

Код

ZPREMIUM-INT



Начальное сверло, промежуточное сверло и развертка

Все сверла Sweden & Martina сделаны из стали для хирургического использования.

Начальное сверло: очень острое и точное, оно облегчает открытие участка имплантата.



Промежуточные сверла: форма с прогрессивным диаметром 2.00 мм.

Пилотное сверло: разная высота лазерной маркировки.

Развертка: идеальный вариант для подготовки пришеечной области, в случае имплантатов с шейкой типа SP.

Начальное сверло, промежуточные сверла и развертка

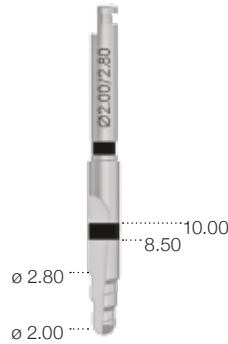
FS-230

начальное сверло.



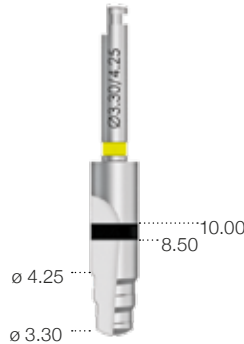
FG-200/280XS

промежуточное сверло
ø 2.00-2.80 мм.



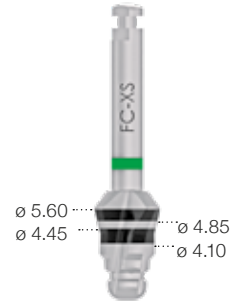
FG-330/425XS

промежуточное сверло
ø 3.30-4.25 мм.



FC-XS

развертка.



Пилотное сверло и стоперы

FPT3-200-LXS

пилотное сверло.



STOP4-200-070

7.00 мм
стоппер
пилотного
сверла.



STOP4-200-085

8.50 мм
стоппер
пилотного
сверла.



STOP4-200-100

10.00 мм
стоппер
пилотного
сверла.



STOP4-200-115

11.50 мм
стоппер
пилотного
сверла.



STOP4-200-130

13.00 мм
стоппер
пилотного
сверла.



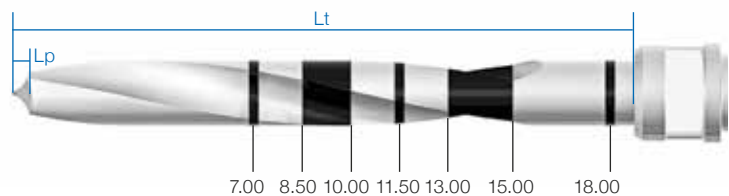
STOP4-200-150

15.00 мм
стоппер
пилотного
сверла.



Lt: Общая длина рабочей части, включая кончик сверла.

Lp: Длина кончика сверла. Данный размер следует рассчитывать в дополнение к длине подготовленного отверстия.

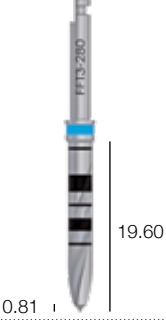
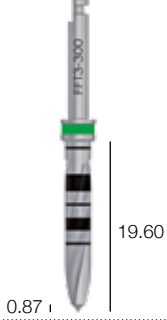
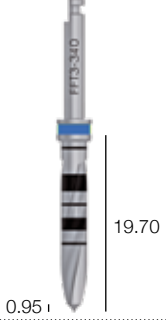
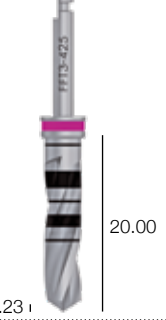























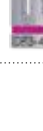


Пожалуйста, обратите внимание: начальные сверла на этой странице и сверла конечного диаметра на следующей странице всегда обеспечивают остеотомию длиннее имплантата, который подлежит установке. Превышение номинального размера (Lp) равно высоте используемого наконечника сверла. См. показанный выше рисунок.

Сверла конечного диаметра и стопперы

Выполненные из стали для хирургического использования сверла конечного диаметра PREMIUM представляют собой несколько режущих лезвий, размер которых пропорционален диаметру отверстия, что позволяет осуществлять непрерывное и равномерное режущее движение, а также обеспечивать большую стабильность инструмента во время работы. Все это позволяет получить точное ложе под имплантат и легко установить его.



Диаметр имплантата	ø 3.30 мм	ø 3.80 мм	ø 4.25 мм	ø 5.00 мм
Сверла.	FFT3-280-LXS 	FFT3-300-LXS 	FFT3-340-LXS 	FFT3-425-LXS 
Стопперы.	STOP4- 280-070 	STOP4- 300-070 	STOP4- 340-070 	STOP4- 425-070 
	STOP4- 280-085 	STOP4- 300-085 	STOP4- 340-085 	STOP4- 425-085 
	STOP4- 280-100 	STOP4- 300-100 	STOP4- 340-100 	STOP4- 425-100 
	STOP4- 280-115 	STOP4- 300-115 	STOP4- 340-115 	STOP4- 425-115 
	STOP4- 280-130 	STOP4- 300-130 	STOP4- 340-130 	STOP4- 425-130 
	STOP4- 280-150 	STOP4- 300-150 	STOP4- 340-150 	STOP4- 425-150 

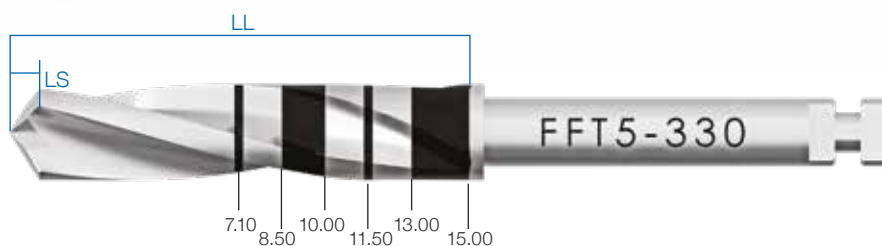
Сверла для дистальных отделов

В качестве опции поставляются сверла, которые можно использовать для дистальных отделов с ограниченным открыванием рта.

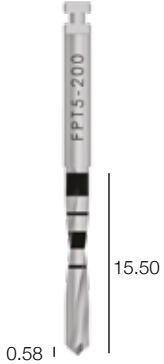
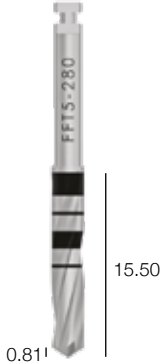
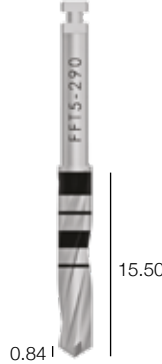
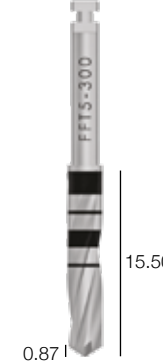
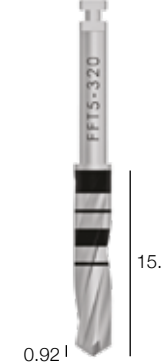
Они поставляются в широком диапазоне диаметров и также могут использоваться для препарирования в чрезвычайно компактной кости, где в наиболее коронковой части желательно расширить диаметр препарирования на 0.10 мм по отношению к размеру стандартного сверла, чтобы облегчить установку имплантатов.

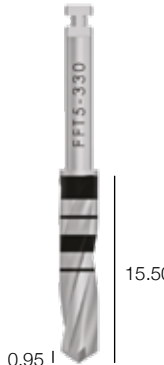

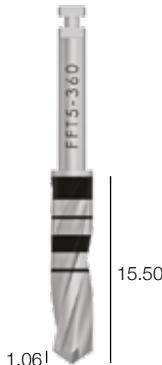




На сверла методом травления нанесены линии глубины от 7.00 до 15.00 мм.



Пожалуйста, обратите внимание: Сверла всегда обеспечивают остеотомию длиннее имплантата, который подлежит установке. Превышение номинального размера (Lp) равно высоте используемого кончика сверла. См. приведенный выше рисунок.

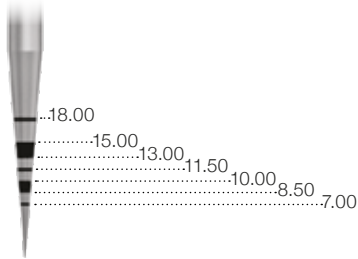
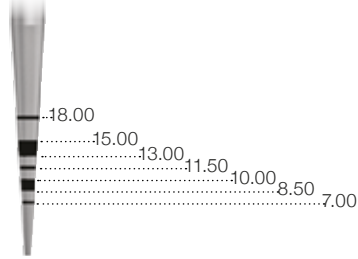
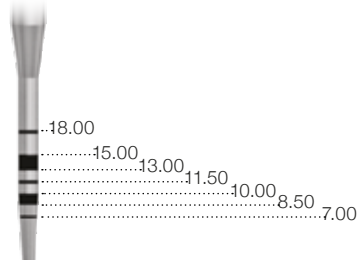
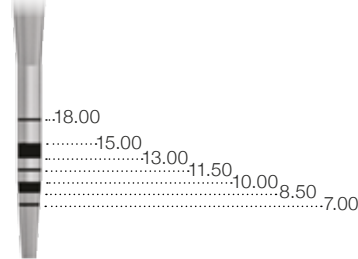
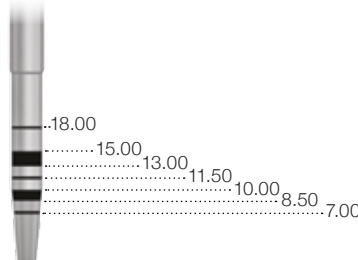
ø 2.00 мм	ø 2.80 мм	ø 2.90 мм	ø 3.00 мм	ø 3.20 мм
FFT5-200-LXS цилиндрическое сверло ø 2.00 мм.	FFT5-280-LXS цилиндрическое сверло ø 2.80 мм.	FFT5-290-LXS цилиндрическое сверло ø 2.90 мм.	FFT5-300-LXS цилиндрическое сверло ø 3.00 мм.	FFT5-320-LXS цилиндрическое сверло ø 3.20 мм.
 0.58 l	 0.81 l	 0.84 l	 0.87 l	 0.92 l

ø 3.30 мм	ø 3.40 мм	ø 3.60 мм	ø 4.25 мм	ø 4.45 мм
FFT5-330-LXS цилиндрическое сверло ø 3.30 мм.	FFT5-340-LXS цилиндрическое сверло ø 3.40 мм.	FFT5-360-LXS цилиндрическое сверло ø 3.60 мм.	FFT5-425-LXS цилиндрическое сверло ø 4.25 мм.	FFT5-445-LXS цилиндрическое сверло ø 4.45 мм.
 0.95 l	 0.98 l	 1.06 l	 1.23 l	 1.28 l

Сверла для дистальных секторов не имеют внутренней ирригации и не включены ни в один из хирургических наборов. Они не могут использоваться со стопперами глубины.

Остеотомы

Поставляется набор остеотомов, выполненных из стали, для хирургического использования, его можно применять для поднятия дна гайморовой пазухи и создания костного ложа под имплантат с плотными стенками.

Описание	Код
Остеотом \varnothing 0.20, плоская верхушка.	E-OS-020-PP 
Остеотом \varnothing 0.90, плоская верхушка.	E-OS-090-PP 
Остеотом \varnothing 1.60, вогнутая верхушка.	E-OS-160-PC 
Остеотом \varnothing 2.00, вогнутая верхушка.	E-OS-200-PC 
Остеотом \varnothing 2.40, вогнутая верхушка.	E-OS-240-PC 

Остеотомы не входят ни в один набор. Их следует заказывать отдельно.

Метчики для формирования резьбы в костном канале

Метчик с шестигранным соединением:

для использования с динамометрическим реверсивным ключом.

Метчик с прямоугольным соединением:

для использования с ручным блоком микромотора.

Короткий метчик:

с динамометрическим реверсивным ключом, в дистальных отделах.



Диаметр имплантата	ø 3.30 мм	ø 3.80 мм	ø 4.25 мм	ø 5.00 мм
Метчик для формирования резьбы в костном канале с шестигранным соединением.	<p>A-MS-330</p>	<p>A-MS-380</p>	<p>A-MS-425</p>	<p>A-MS-500</p>
Метчик для формирования резьбы в костном канале машинный.	<p>A-MS-330-CA</p>	<p>A-MS-380-CA</p>	<p>A-MS-425-CA</p>	<p>A-MS-500-CA</p>
Короткий метчик для формирования резьбы в костном канале.	<p>A-MSC-330</p>	<p>A-MSC-380</p>	<p>A-MSC-425</p>	<p>A-MSC-500</p>

Если не указано иное, все размеры даны в миллиметрах.

Дополнительные инструменты

Дополнительные инструменты для установки имплантатов серии PREMIUM STRAIGHT и SP, выполненные из стали для хирургического использования, были разработаны для максимальной эргономики и простоты применения.

Все инструменты имеют лазерный код для легкой идентификации.

Имплантовод Easy Insert:

особая геометрия шестигранника помогает ограничить заклинивание и предотвращает деформацию соединения имплантата.









Шестигранник: помогает в случае необходимости удаления имплантата.







Ортопедические отвертки:

спроектированы для надежной фиксации соединительных винтов.

Имплантоводы и ключи для имплантатов




Описание	Код
Короткий машинный имплантовод с прямоугольным хвостовиком для имплантатов PREMIUM диаметром 3.30 и 3.80 мм.	EASYC4-EX230-CA 
Длинный машинный имплантовод с прямоугольным хвостовиком для имплантатов PREMIUM диаметром 3.30 и 3.80 мм.	EASYL4-EX230-CA 
Короткий имплантовод с соединением для динамометрического реверсивного ключа для имплантатов PREMIUM диаметром 3.30 и 3.80 мм.	EASY4-EX230-EX 
Короткий машинный имплантовод с прямоугольным хвостовиком для имплантатов PREMIUM диаметром 4.25 и 5.00 мм.	EASYC4-EX250-CA 
Длинный машинный имплантовод с прямоугольным хвостовиком для имплантатов PREMIUM диаметром 4.25 и 5.00 мм.	EASYL4-EX250-CA 
Короткий имплантовод с соединением для динамометрического реверсивного ключа для имплантатов PREMIUM диаметром 4.25 и 5.00 мм.	EASY4-EX250-EX 

Ключи



Описание	Код
Короткий ключ (шестигранник 2.30).	BC-EX230 
Длинный ключ (шестигранник 2.30).	BL-EX230 
Короткий ключ (шестигранник 2.50).	BC-EX250 
Длинный ключ (шестигранник 2.50).	BL-EX250 

Если не указано иное, все размеры даны в миллиметрах.

Хирургические отвертки


Описание	Код
Отвертка для хирургического винта-заглушки и крепежных винтов, ручная, очень короткая.	HSMXS-20-DG 
Отвертка для хирургического винта-заглушки и крепежных винтов, ручная, короткая.	HSM-20-DG 
Отвертка для хирургического винта-заглушки и крепежных винтов, ручная, длинная.	HSML-20-DG 

Монтажные устройства*

Описание	Код
Монтажное устройство, для имплантатов: диаметр 3.30 и 3.80 мм PREMIUM STRAIGHT и SP.	MOU-EX230 
Монтажное устройство, для имплантатов: диаметр 4.25 и 5.00 мм PREMIUM STRAIGHT и SP.	MOU-EX250 

*Не включены в хирургический набор. Могут быть приобретены отдельно.


Динамометрический реверсивный ключ

Описание	Код
Набор, состоящий из динамометрического реверсивного ключа, который может использоваться в динамометрическом или фиксированном режиме, а также в качестве принадлежностей для быстрого регулирования момента затяжки и периодического обслуживания. У реверсивного ключа есть пределы момента затяжки от 10 до 70 Н·см, с линиями регулировки 10-20-25-30-35-50-70 Н·см.	CRI5-KIT 

Измеритель глубины




Описание	Код
Измеритель глубины.	PROF3
	

Стопорный ключ монтажного устройства*

Описание	Код
Стопорный ключ монтажного устройства.	CM2
	





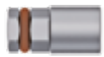




*Не включен в хирургический набор. Может быть приобретен отдельно.

Штифт для оценки параллельности







Описание	Код
Штифты для оценки параллельности, одна сторона - диаметр 2.00, а другая сторона - диаметр 2.80 мм.	PP-2/28
	
Штифты для оценки параллельности с лазерными отметками глубины, версия small	PPTS-2-28*
	
Штифты для оценки параллельности с лазерными отметками глубины, версия large	PPTL-2-28*
	

*Не включены в хирургический набор. Могут быть приобретены отдельно.


Ортопедические отвертки

Описание	Код
Отвертка для соединительных винтов с шестигранным соединением для динамометрического реверсивного ключа или ручной рукоятки, короткая.	HSM-20-EX 
Отвертка для соединительных винтов с шестигранным соединением для динамометрического реверсивного ключа или ручной рукоятки, длинная.	HSML-20-EX 
Отвертка для соединительных винтов с шестигранным соединением для динамометрического реверсивного ключа или ручной рукоятки, очень длинная.	HSMXL-20-EX 
Отвертка машинная для соединительных винтов.	HSM-20-CA 
Отвертка для шаровидных абатментов с шестигранным соединением для динамометрического реверсивного ключа.	BASCC-EX 
Отвертка для прямых абатментов P.A.D. шестигранным соединителем для динамометрического реверсивного ключа.	AVV2-ABUT 
Ключ для установки абатмент-локатора с шестигранным соединением для динамометрического реверсивного ключа, короткий.	8926-SW 
Ключ для установки абатмент-локатора с шестигранным соединением для динамометрического реверсивного ключа, длинный.	8927-SW 
Инструмент для сборки и обслуживания титанового колпачка для шаровидных абатментов CAP-TIT-1.	AVV-CAP-TIT-1 

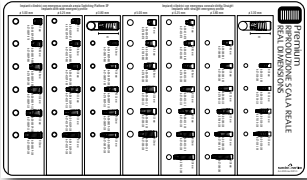
Удлинитель и переходники

Описание	Код
Удлинитель для метчиков для формирования резьбы в костном канале, монтажных устройств, ключей и ручных ключей, с шестигранным соединением для динамометрического реверсивного ключа.	BPM-15 
Удлинитель для хирургических сверл.	PROF-CAL3 
Механический машинный адаптер для инструментов с шестигранным соединением.	B-AVV-CA3 
Ручная рукоятка для инструментов с шестигранным соединением для динамометрического реверсивного ключа.	AVV3-MAN-DG 
Кнопка для ручного использования ключей, метчиков для формирования резьбы в костном канале и ключей с машинным хвостовиком и с шестигранным соединением для динамометрического реверсивного ключа.	AVV-CA-DG-EX 
Держатель для переноса угловых абатментов в полость рта, стерилизуемый, с возможностью повторного использования. Он должен быть зафиксирован к абатментам с помощью винта PAD-VTRAL-140.	PAD-CAR 

Запасные кольца









Описание	Код
<p>Набор с 5 запасными кольцами для всех принадлежностей с шестигранным соединением для динамометрического реверсивного ключа.</p>	<p>ORING180-088</p> 

Шаблоны для рентгеновских исследований

Описание	Код
<p>Рентгеновский шаблон для имплантатов PREMIUM STRAIGHT и SP, реальные размеры, размеры, увеличенные на 20%, и размеры, увеличенные на 30%.</p>	<p>A-L100 A-L120 A-L130</p> 

Костные фрезы



Диаметр имплантата	ø 3.30 мм	ø 3.80 мм	ø 4.25 мм	ø 5.00 мм
Костная фреза с узким расширением.	A-PAD-PS330-S 	A-PAD-PS380-S 	A-PAD-PS425-S 	A-PAD-PS500-S 
Костная фреза с широким расширением.	A-PAD-PS330-L 	A-PAD-PS380-L 	A-PAD-PS425-L 	A-PAD-PS500-L 

Костные фрезы не входят ни в один набор. Их следует заказывать отдельно.

Если не указано иное, все размеры даны в миллиметрах.

Хирургический набор для коротких имплантатов

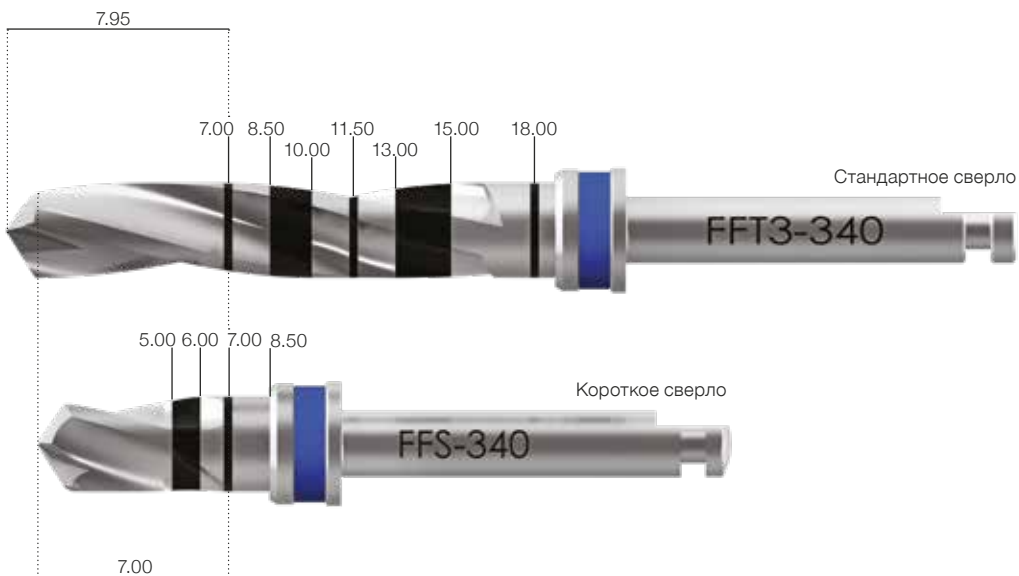
Короткие сверла позволяют использовать всю имеющуюся кость для установки имплантата без какой-либо сверхподготовки из-за морфологии наконечника стандартных сверл (например, для того чтобы установить имплантат Premium 7.00 мм, используя Короткое сверло, выполняется фактическое отверстие 7.00 мм, а не 7.00 мм плюс сверхподготовка). Кроме того, Короткие сверла имеют преимущество, по сравнению с традиционными сверлами, поскольку они короче стандартных сверл (24.85 мм вместо 35.00 мм). Эта важная особенность позволяет использовать эти инструменты даже в случае установки имплантата в дистальные отделы или при условиях ограниченного открывания рта.



Данный набор содержит два коротких параллельных штифта, которые очень удобны для работы в дистальных отделах.

Цветные коды платформы облегчают выбор инструментов.

Описание	Код
Набор сверл для коротких имплантатов.	ZSHORTY-INT 







Пожалуйста, обратите внимание: помните о том, что хирургический набор для установки коротких имплантатов не допускает избыточного препарирования хирургической зоны. Рабочая длина включает часть, связанную с коническим кончиком сверла.

Важное предупреждение

Хирургический набор для установки коротких имплантатов представляет собой только набор сверл, в который помимо сверл вошли два параллельных штифта. Однако это не полный набор, чтобы установить короткие имплантаты, требуются инструменты из стандартного хирургического набора (реверсивный ключ, другие ключи и т.д.).

Инструменты, которые вошли в короткий набор для сверления

Короткое пилотное сверло	Стопперы короткого пилотного сверла		
<p>FPS-200 Короткое направляющее сверло.</p> 	<p>STOPS4-200-050 Стоппер 5.00 мм для короткого пилотного сверла.</p> 	<p>STOPS4-200-060 Стоппер 6.00 мм для короткого пилотного сверла.</p> 	<p>STOPS4-200-070 Стоппер 7.00 мм для короткого пилотного сверла.</p> 

Описание	Диаметр	Код
Короткое направляющее сверло.	2.00/2.50/3.00	<p>FGS-200/300</p> 
Короткое направляющее сверло .	3.40/3.80/4.25	<p>FGS-340/425</p> 
Короткое направляющее сверло.	4.25/4.80/5.40	<p>FGS-425/540*</p> 
Параллельный штифт для коротких имплантатов с метками глубины на 5.00, 6.00 и 7.00 мм.	2.00/3.00	<p>PPS-2/3</p> 

Соединение	ø 3.80 мм	ø 4.25 мм	ø 5.00 мм	ø 6.00 мм
Сверло.	FFS-300 	FFS-340 	FFS-425 	FFS-540* 
Стоппер.	STOPS4-300-050 	STOPS4-340-050 	STOPS4-425-050 	STOPS4-540-050* 
	STOPS4-300-060 	STOPS4-340-060 	STOPS4-425-060 	STOPS4-540-060* 
	STOPS4-300-070 	STOPS4-340-070 	STOPS4-425-070 	STOPS4-540-070* 

* Сверла и стопперы диаметром 4.25 мм для других систем имплантатов Sweden & Martina также входят в Короткий набор для сверления.

Если не указано иное, все размеры даны в миллиметрах.

Формирователи десны

Формирователи десны изготовлены из титана Grade 5. Их можно идентифицировать по лазерной маркировке, на которой указан диаметр, профиль выступания и его высота. В случае формирователей десны с прямым профилем выступания маркировка включает лишь информацию о диаметре платформы и ее высоте.

Формирователей десны следует затягивать с моментом 8-10 Н·см, используя для этого серию ключей HSM, более детальную информацию о них, а также коды можно найти на странице 30.

Формирователи десны с прямым профилем выступания:








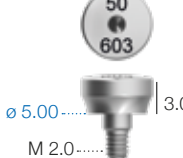
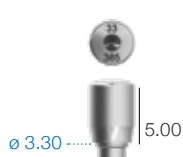



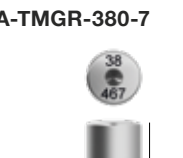
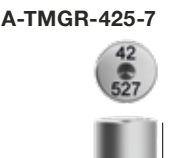
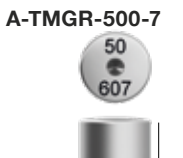







лазерная маркировка на боковой части позволяет узнать диаметр соединения (38 = 3.80 мм) и трансгингивальную высоту (3 = 3 мм).



Направляющий цилиндр: облегчает центровку при установке в имплантат.

Формирователи десны с анатомическим профилем

выступания: лазерная маркировка на верхней поверхности показывает диаметр соединения (50 = 5.00 мм), максимальный размер коронки (60 = 6.00 мм) и трансгингивальную высоту (2 = 2.00 мм).

Соединение	ø 3.30 мм	ø 3.80 мм	ø 4.25 мм	ø 5.00 мм
Формирователи десны. Анатомический профиль выступания. Трансгингивальная высота 2.00 мм.	A-TMGR-330-2 	A-TMGR-380-2 	A-TMGR-425-2 	A-TMGR-500-2 
Формирователи десны. Анатомический профиль выступания. Трансгингивальная высота 3.00 мм.	A-TMGR-330-3 	A-TMGR-380-3 	A-TMGR-425-3 	A-TMGR-500-3 
Формирователи десны. Анатомический профиль выступания. Трансгингивальная высота 5.00 мм.	A-TMGR-330-5 	A-TMGR-380-5 	A-TMGR-425-5 	A-TMGR-500-5 
Формирователи десны. Анатомический профиль выступания. Трансгингивальная высота 7.00 мм.	-	A-TMGR-380-7 	A-TMGR-425-7 	A-TMGR-500-7 
Формирователи десны. Цилиндрический профиль выступания. Трансгингивальная высота 2.00 мм.	A-TMG-330-2 	A-TMG-380-2 	-	-
Формирователи десны. Цилиндрический профиль выступания. Трансгингивальная высота 3.00 мм.	A-TMG-330-3 	A-TMG-380-3 	-	-
Формирователи десны. Цилиндрический профиль выступания. Трансгингивальная высота 5.00 мм.	A-TMG-330-5 	A-TMG-380-5 	-	-
Формирователи десны. Цилиндрический профиль выступания. Трансгингивальная высота 7.00 мм.	A-TMG-330-7 			

Рекомендуемый момент затяжки для формирователей десны: 8-10 Н·см.

Если не указано иное, все размеры даны в миллиметрах.

Этап снятия оттисков и моделирования

Трансферы для открытой и закрытой ложки выполнены из титана Grade 5, анодированы согласно цветовому коду соответствующей платформы, что облегчает идентификацию любых диаметров, которые могут использоваться.

Извлекаемый трансфер выполнен из рентгеноконтрастного ПЭЭК и позволяет проверить правильность установки в платформу имплантата.

Трансфер для открытой ложки: ретенционная конструкция обеспечивает постоянный захват в верхней части оттиска.

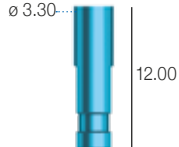
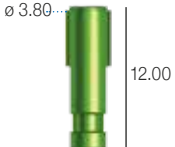
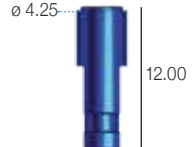
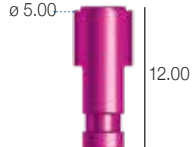
Трансфер для закрытой ложки: идеально подходит для получения оттисков с использованием техники закрытой ложки; репозиционная поверхность позволяет вставить трансфер точно в материал оттиска, чтобы точно воспроизвести ориентацию соединения.

Аналог имплантата: анодирован согласно цветовому коду, что позволяет идентифицировать различные ортопедические платформы.


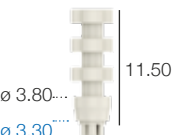
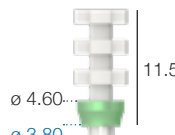
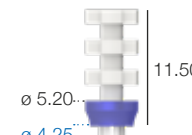
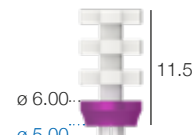


Извлекаемый трансфер: соединение с выступами защелкивается в соединительный шестигранник имплантата, не требуя использования винта.

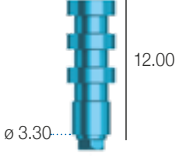

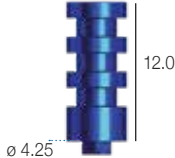
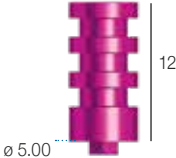
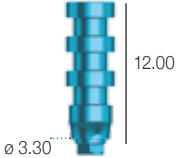
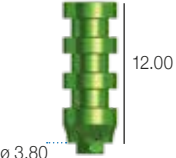
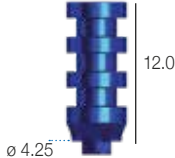
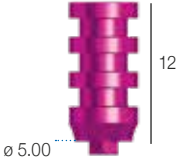

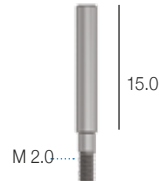


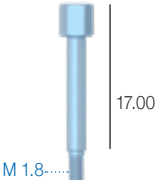
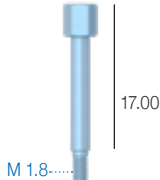
Аналоги

Соединение	ø 3.30 мм	ø 3.80 мм	ø 4.25 мм	ø 5.00 мм
Аналоги.	A-ANA-330 	A-ANA-380 	A-ANA-425 	A-ANA-500 

Извлекаемые трансферы

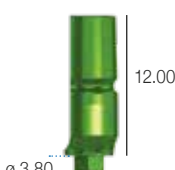
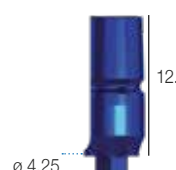
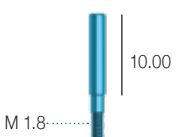
Соединение	ø 3.30 мм	ø 3.80 мм	ø 4.25 мм	ø 5.00 мм
Извлекаемый трансфер из рентгеноконтрастного РЕЕК с прямым профилем выступа.	A-TRAP-330 	-	-	-
Извлекаемый трансфер из рентгеноконтрастного РЕЕК с анатомическим профилем выступа.	A-TRARP-330 	A-TRARP-380 	A-TRARP-425 	A-TRARP-500 

Трансферы для открытой ложки

Соединение	ø 3.30 мм	ø 3.80 мм	ø 4.25 мм	ø 5.00 мм
Трансферы для открытой ложки. Прямой профиль выступания. Соединительный винт входит в комплект.	A-TRA-330  ø 3.30 12.00	A-TRA-380  ø 3.80 12.00	-  ø 4.25 12.00	-  ø 5.00 12.00
Трансферы для открытой ложки. Анатомический профиль выступания. Соединительный винт входит в комплект.	A-TRAR-330  ø 3.30 12.00	A-TRAR-380  ø 3.80 12.00	A-TRAR-425  ø 4.25 12.00	A-TRAR-500  ø 5.00 12.00
Индивидуальная упаковка Крепежные винты для трансферов для открытой ложки. Поставляется вместе с трансферами, но можно заказать и отдельно в качестве запасной части.	VTRA2-180-15  M 1.8 15.00	Используйте VTRA2-180-15	VTRA2-200-15  M 2.0 15.00	Используйте VTRA2-200-15
Индивидуальная упаковка Крепежные винты для трансфера для открытой ложки, длина 20.00, можно заказать в качестве запасной части.	VTRA2-180-20  M 1.8 20.00	Используйте VTRA2-180-20	VTRA2-200-20  M 2.0 20.00	Используйте VTRA2-200-20
Соединительный винт для трансфера для открытой ложки с ручным соединением, не поставляется вместе с трансферами, его можно заказать отдельно в индивидуальной упаковке.	VTRA2-180-MAN  M 1.8 17.00	VTRA2-180-MAN  M 1.8 17.00		

Рекомендуемый момент затяжки для винтов трансферов: 8-10 Н•см.

Трансферы для закрытой ложки

Соединение	ø 3.30 мм	ø 3.80 мм	ø 4.25 мм	ø 5.00 мм
Трансферы для закрытой ложки. Прямой профиль выступания. В комплекте - крепежный винт.	A-TRAS-330  ø 3.30 12.00	-	-	-
Трансферы для закрытой ложки. Анатомический профиль выступания. В комплекте - крепежный винт.	A-TRARS-330  ø 3.30 12.00	A-TRARS-380  ø 3.80 12.00	A-TRARS-425  ø 4.25 12.00	A-TRARS-500  ø 5.00 12.00
Индивидуальная упаковка Крепежные винты для трансферов для открытой ложки. Поставляется с трансферами, но его также можно заказать отдельно в качестве запасной части.	VTRA2-180-10  M 1.8 10.00	Используйте VTRA2-180-10	VTRA2-200-10  M 2.0 10.00	Используйте VTRA2-200-10

Рекомендуемый момент затяжки для винтов трансферов: 8-10 Н•см.

Если не указано иное, все размеры даны в миллиметрах.

Временные абатменты SIMPLE

Ортопедический протокол SIMPLE требует использования временных абатментов. Они выполнены из титана Grade 5 или из PEEK на основе титана и поставляются в виде переустанавливаемой и неперустанавливаемой версии.

Абатменты PEEK: с основанием из титана для одиночных коронок на цементной фиксации.

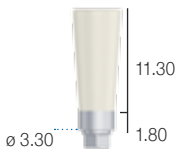
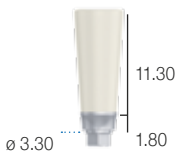
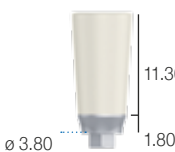
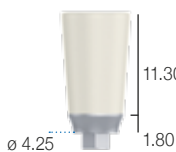
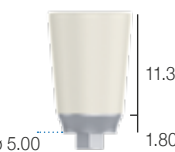




Эстетический временный абатмент с самым большим расширением трансгингивального профиля, адаптируемый к любой анатомии путем сверления, для эстетической подготовки слизистой оболочки.

Временные абатменты без переустанавливаемого шестигранника с узким трансгингивальным профилем для нескольких временных конструкций винтовой фиксации с опорой на имплантаты.

Временный абатмент с шестигранником для формирования одиночных временных конструкций с винтовой фиксацией.

Временные абатменты для протоколов с цементированием

Соединение	ø 3.30 мм	ø 3.80 мм	ø 4.25 мм	ø 5.00 мм
Временные абатменты SIMPLE из PEEK с основанием из титана Grade 5. Переустанавливаемые. Прямой профиль выступания. Соединительный винт входит в комплект.	A-MPSC-330 	-	-	-
Временные абатменты SIMPLE из PEEK с основанием из титана Grade 5. Переустанавливаемые. Анатомический профиль выступания. Соединительный винт входит в комплект.	A-MPSCR-330 	A-MPSCR-380 	A-MPSCR-425 	A-MPSCR-500 
Индивидуальная упаковка В наборе 10 штук. Соединительный винт для штифтов. Поставляется с временными абатментами, его также можно заказать отдельно в качестве запасной части.	VM2-180 VM2-180-10  M 1.8	Используйте VM2-180	VM2-200 VM2-200-10  M 2.0	Используйте VM2-200

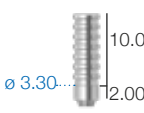
Рекомендуемый момент затяжки для соединительных винтов: 20-25 Н•см.

Если не указано иное, все размеры даны в миллиметрах.

Временные абатменты для протоколов с завинчиванием

Соединение	ø 3.30 мм	ø 3.80 мм	ø 4.25 мм	ø 5.00 мм
<p>Временные абатменты SIMPLE из титана Grade 5. Переустанавливаемые Анатомический профиль выступа. Соединительный винт входит в комплект.</p>	<p>A-MPSA-330-EX</p>	<p>A-MPSA-380-EX</p>	<p>A-MPSA-425-EX</p>	<p>A-MPSA-500-EX</p>
<p>Временные абатменты SIMPLE из титана Grade 5. Непереустанавливаемые Анатомический профиль выступа. Соединительный винт входит в комплект.</p>	<p>A-MPSA-330</p>	<p>A-MPSA-380</p>	<p>A-MPSA-425</p>	<p>A-MPSA-500</p>
<p>Индивидуальная упаковка В наборе 10 штук. Соединительный винт для штифтов. Поставляется с временными батментами, его также можно заказать отдельно в качестве запасной части.</p>	<p>VM2-180 VM2-180-10</p>	<p>Используйте VM2-180</p>	<p>VM2-200 VM2-200-10</p>	<p>Используйте VM2-200</p>

Соединение	ø 3.30 мм	ø 3.80 мм	ø 4.25 мм	ø 5.00 мм
<p>Временные абатменты SIMPLE из титана Grade 5. Непереустанавливаемые. Широкий профиль выступа. Соединительный винт входит в комплект.</p>	<p>A-MPS-330</p>	<p>A-MPS-380</p>	<p>A-MPS-425</p>	<p>A-MPS-500</p>
<p>Индивидуальная упаковка В наборе 10 штук. Соединительный винт для штифтов. Поставляется с временными абатментами, его также можно заказать отдельно в качестве запасной части.</p>	<p>VM2-180 VM2-180-10</p>	<p>Используйте VM2-180</p>	<p>VM2-200 VM2-200-10</p>	<p>Используйте VM2-200</p>

Ø Ортопедического компонента	3.30 мм	3.80 мм	4.25 мм	5.00 мм	4.25 мм	5.00 мм
Для имплантатов Ø	3.30 - 3.80			4.25 - 5.00		
Временные абатменты SIMPLE из титана Grade 5. Переустанавливаемые Прямой профиль выступания.	A-MPSCI-330-EX 	A-MPSCI-380-EX 	AS-MPSCI-425-EX 	AS-MPSCI-500-EX 	A-MPSCI-425-EX 	A-MPSCI-500-EX 
Временные абатменты SIMPLE из титана Grade 5. Непереустанавливаемые Прямой профиль выступания.	A-MPSCI-330 	A-MPSCI-380 	AS-MPSCI-425 	AS-MPSCI-500 	A-MPSCI-425 	A-MPSCI-500 
Индивидуальная упаковка В наборе 10 штук. Соединительный винт для штифтов. Поставляется с временными батментами, его также можно заказать отдельно в качестве запасной части.	VM2-180 VM2-180-10 	Используйте VM2-180	Используйте VM2-180	Используйте VM2-180	VM2-200 VM2-200-10 	Используйте VM2-200

Стандартные абатменты

Изготовлены из титана Grade 5, их цвет формируется в процессе анодирования, что позволяет обойтись без покрытия.

Это гарантирует биологическую совместимость абатмента с мягкими тканями.

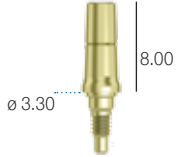
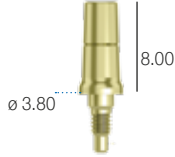
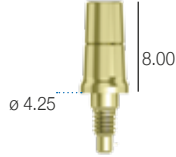
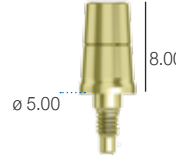
Угловые абатменты: с фиксирующими винтами они обеспечивают угол 15° или 25° .

Цвет: их цвет подходит для эстетической реставрации.

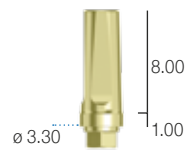
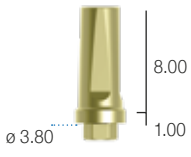
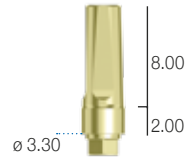
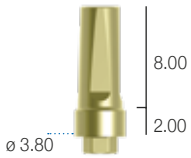
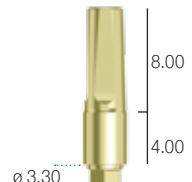
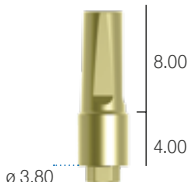



Цельные абатменты: они используются для цементирования протезов на параллельных имплантатах.

Шестигранник: обеспечивает повторную установку и неротационный аспект, поэтому данный вид абатмента для одиночных конструкций.

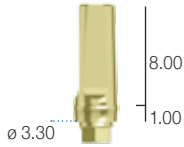
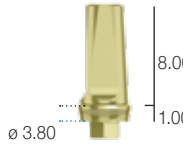
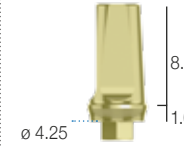
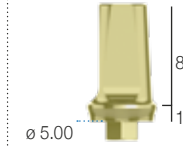
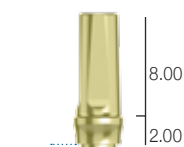
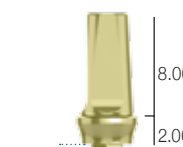
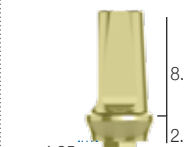

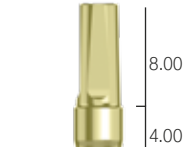
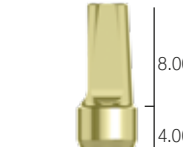
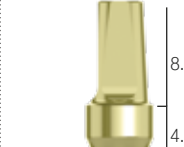

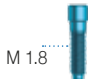

Соединение	ø 3.30 мм	ø 3.80 мм	ø 4.25 мм	ø 5.00 мм
Цельные абатменты. Непереустанавливаемые.	A-MDAD-330 	A-MDAD-380 	A-MDAD-425 	A-MDAD-500 

Рекомендуемый момент затяжки 25-30 Н·см.

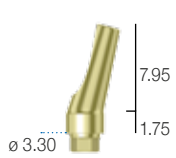
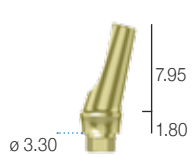
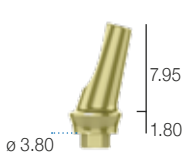
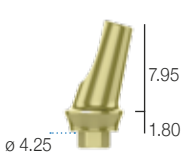
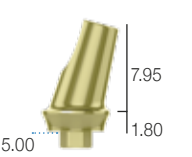
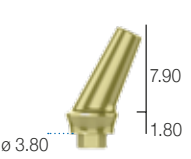
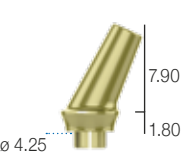


соединение	ø 3.30 мм	ø 3.80 мм	ø 4.25 мм	ø 5.00 мм
Стандартные прямые абатменты. Переустанавливаемые. Прямой профиль выступания. Трансгингивальная высота 1.00 мм. Соединительный винт входит в комплект.	A-MD-330-1 	A-MD-380-1 	-	-
Стандартные прямые абатменты. Переустанавливаемые. Прямой профиль выступания. Трансгингивальная высота 2.00 мм. Соединительный винт.	A-MD-330-2 	A-MD-380-2 	-	-
Стандартные прямые абатменты. Переустанавливаемые. Прямой профиль выступания. Трансгингивальная высота 4.00 мм. Соединительный винт входит в комплект.	A-MD-330-4 	A-MD-380-4 	-	-
Индивидуальная упаковка. В наборе 10 штук. Соединительный винт поставляется с абатментами, его также можно заказать отдельно в качестве запасной части.	VM2-180 VM2-180-10 	Используйте VM2-180	-	-

Рекомендуемый момент затяжки для соединительных винтов: 20-25 Н·см.

Если не указано иное, все размеры даны в миллиметрах.

Соединение	ø 3.30 мм	ø 3.80 мм	ø 4.25 мм	ø 5.00 мм
Стандартные прямые абатменты. Анатомический профиль выступания. Переустанавливаемые. Трансгингивальная высота 1.00 мм. Соединительный винт входит в комплект.	A-MDR-330-1 	A-MDR-380-1 	A-MDR-425-1 	A-MDR-500-1 
Стандартные прямые абатменты. Анатомический профиль выступания. Переустанавливаемые. Трансгингивальная высота 2.00 мм. Соединительный винт входит в комплект.	A-MDR-330-2 	A-MDR-380-2 	A-MDR-425-2 	A-MDR-500-2 
Стандартные прямые абатменты. Анатомический профиль выступания. Переустанавливаемые. Трансгингивальная высота 4.00 мм. Соединительный винт входит в комплект.	A-MDR-330-4 	A-MDR-380-4 	A-MDR-425-4 	A-MDR-500-4 
Индивидуальная упаковка. В наборе 10 штук. Соединительный винт поставляется с абатментами, его также можно заказать отдельно в качестве запасной части.	VM2-180 VM2-180-10 	Используйте VM2-180	VM2-200 VM2-200-10 	Используйте VM2-200

Рекомендуемый момент затяжки для соединительных винтов: 20-25 Н·см.

Соединение	ø 3.30 мм	ø 3.80 мм	ø 4.25 мм	ø 5.00 мм
Стандартные угловые абатменты 15°. Переустанавливаемые. Прямой профиль выступания. Трансгингивальная высота 1.75 мм. Соединительный винт входит в комплект.	A-MA15-330 	-	-	-
Стандартные угловые абатменты 15°. Переустанавливаемые. Анатомический профиль выступания. Трансгингивальная высота 1.80 мм. Соединительный винт входит в комплект.	A-MAR15-330 	A-MAR15-380 	A-MAR15-425 	A-MAR15-500 
Стандартные угловые абатменты 25°. Переустанавливаемые. Анатомический профиль выступания. Трансгингивальная высота 1.80 мм. Соединительный винт входит в комплект.	-	A-MAR25-380 	MAR25-425 	-
Индивидуальная упаковка. В наборе 10 штук. Соединительный винт для абатментов. Поставляется со штифтами, его также можно заказать отдельно в качестве запасной части.	VM2-180 VM2-180-10 	Используйте VM2-180	VM2-200 VM2-200-10 	Используйте VM2-200

Рекомендуемый момент затяжки для соединительных винтов: 20-25 Н·см.

Если не указано иное, все размеры даны в миллиметрах.

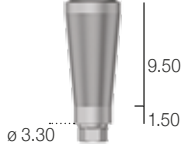
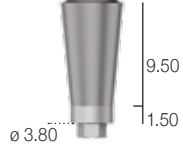
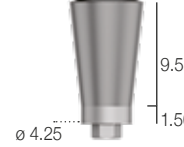
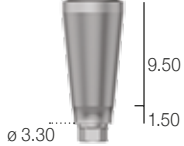
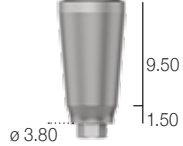
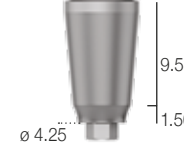
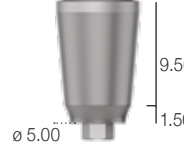
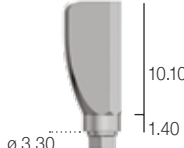
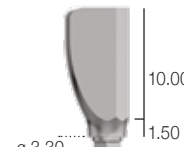
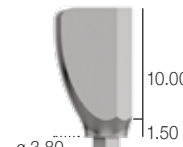
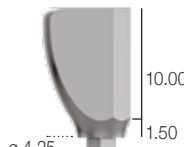
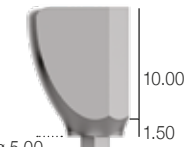


Фрезеруемые абатменты

Они выполнены из титана Grade 5, используются в сложных клинических случаях.

Прямые фрезеруемые абатменты, имеют профиль в форме перевернутого конуса, поэтому они подходят для углов до 10° и узких профилей.



Угловой фрезерованный абатмент, позволяет достичь выраженных углов, до 25°.

Соединение	ø 3.30 мм	ø 3.80 мм	ø 4.25 мм	ø 5.00 мм
Прямые фрезеруемые абатменты. Переустанавливаемые. Прямой профиль выступания. Соединительный винт входит в комплект.	A-MF-330 	A-MF-380 	A-MF-425 	-
Прямые фрезеруемые абатменты. Переустанавливаемые. Анатомический профиль выступания. Соединительный винт входит в комплект.	A-MFR-330 	A-MFR-380 	A-MFR-425 	A-MFR-500 
Угловые фрезеруемые абатменты. Переустанавливаемые. Прямой профиль выступания. Соединительный винт входит в комплект.	A-MFP-330 	-	-	-
Угловые фрезеруемые абатменты. Переустанавливаемые. Анатомический профиль выступания. Соединительный винт входит в комплект.	A-MFPR-330 	A-MFPR-380 	A-MFPR-425 	A-MFPR-500 
Индивидуальная упаковка. В наборе 10 штук. Соединительный винт для абатментов поставляется с временными абатментами, его также можно заказать отдельно в качестве запасной част.	VM2-180 VM2-180-10 	Используйте VM2-180	VM2-200 VM2-200-10 	Используйте VM2-200

Рекомендуемый момент затяжки для соединительных винтов: 20-25 Н·см.

Если не указано иное, все размеры даны в миллиметрах.

Фрезеруемые абатменты SIMPLE

Техника SIMPLE обеспечивает превосходную подготовку слизистой оболочки, начиная с временных эстетических абатментов (см. страницы 44) и фрезеруемых абатментов большого размера для изготовления индивидуального окончательного протезирования.

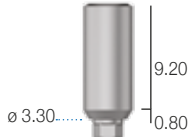
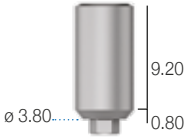
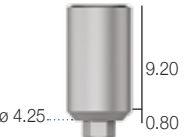
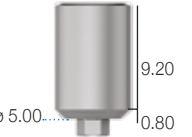
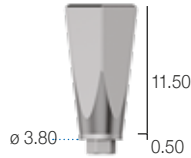
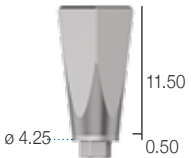
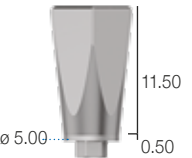


Абатменты характеризуются двумя широкими поверхностями, которые обеспечивают однозначную переустановку на модель, полученную с оттиска, снятого непосредственно с уровня абатментов.

Фрезеруемые абатменты SIMPLE имеют очень широкий профиль выступания, который можно адаптировать к любой анатомической ситуации и использовать после применения временных эстетических абатментов SIMPLE.



Фрезеруемые абатменты для перехватывающей техники имеют две широкие поверхности, которые обеспечивают однозначную установку в оттиск.



Соединение	ø 3.30 мм	ø 3.80 мм	ø 4.25 мм	ø 5.00 мм
Фрезеруемые абатменты SIMPLE. Переустанавливаемые. Очень широкий профиль выступа. Соединительный винт входит в комплект.	A-MFS-330 	A-MFS-380 	A-MFS-425 	A-MFS-500 
Фрезеруемые абатменты для перехватывающей техники. Переустанавливаемые. Соединительный винт входит в комплект.	-	A-MFTI-380 	A-MFTI-425 	A-MFTI-500 
Индивидуальная упаковка. В наборе 10 штук. Соединительный винт для абатментов поставляется с абатментами, его также можно заказать отдельно в качестве запасной части.	VM2-180 VM2-180-10 	Используйте VM2-180	VM2-200 VM2-200-10 	Используйте VM2-200

Рекомендуемый момент затяжки для соединительных винтов: 20-25 Н·см.

Если не указано иное, все размеры даны в миллиметрах.

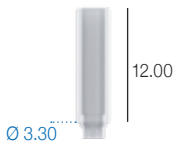
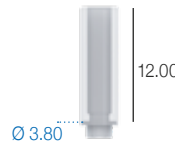
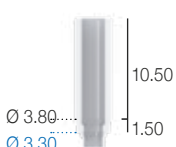
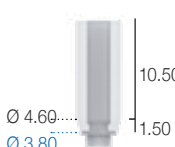
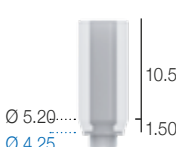
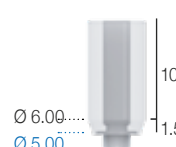
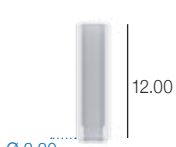
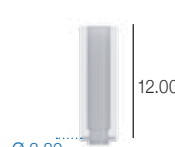
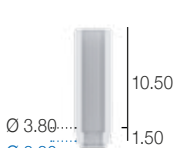
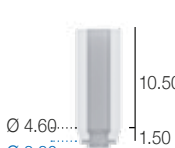
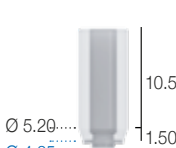
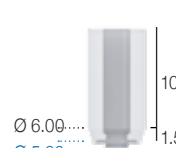


Полностью выжигаемые абатменты

Выжигаемые абатменты из материала, который полностью выгорает при отливании. Абатменты изготавливаются не литьевым методом, а вытачиваются, как и все другие ортопедические компоненты от Sweden & Martina. Тем самым соблюдаются микрогеометрические характеристики для обеспечения наилучшего контакта даже после выжигания.



Выжигаемые абатменты:
максимальная простота
моделировки.



Соединение	ø 3.30 мм	ø 3.80 мм	ø 4.25 мм	ø 5.00 мм
Выжигаемые абатменты. Переустанавливаемые. Прямой профиль выступания. Соединительный винт входит в комплект.	A-CC-330-EX 	A-CC-380-EX 	-	-
Выжигаемые абатменты. Переустанавливаемые. Анатомический профиль выступания. Соединительный винт входит в комплект.	A-CCR-330-EX 	A-CCR-380-EX 	A-CCR-425-EX 	A-CCR-500-EX 
Выжигаемые абатменты. Непереустанавливаемые. Прямой профиль выступания. Соединительный винт входит в комплект.	A-CC-330 	A-CC-380 	-	-
Выжигаемые абатменты. Непереустанавливаемые. Анатомический профиль выступания. Соединительный винт входит в комплект.	A-CCR-330 	A-CCR-380 	A-CCR-425 	A-CCR-500 
Индивидуальная упаковка. В наборе 10 штук. Соединительный винт для абатментов. Поставляется с абатментами его также можно заказать отдельно в качестве запасной части.	VM2-180 VM2-180-10 	Используйте VM2-180	VM2-200 VM2-200-10 	Используйте VM2-200

Важное предупреждение

Рекомендовано всегда использовать отдельные винты для лаборатории и использовать новый винт при установке абатмента пациенту.

Рекомендуемый момент затяжки для соединительных винтов: 20-25 Н·см.

Если не указано иное, все размеры даны в миллиметрах.

Протез В.О.Р.Т.

В соответствии с принципами техники В.О.Р.Т. (Биологически Ориентированная Техника Подготовки) была разработана упрощенная линия, которая позволяет Вам иметь только два абатмента для платформ PREMIUM. Это стало возможным благодаря специально спроектированному соединению, которое отличается от классического соединения и позволяет надежно опираться на платформу центрального опорного кольца.



PREMIUM \varnothing 3.30.



PREMIUM \varnothing 3.80.

Те же самые фрезеруемые абатменты В.О.Р.Т.

A-MEFL-330 с шестигранником 2.30 мм используются на имплантатах PREMIUM диаметром 3.30 и 3.80 мм.

Те же самые фрезеруемые абатменты В.О.Р.Т.








A-MEFL-425 с шестигранником 2.50 мм используются на имплантатах PREMIUM диаметром 4.25 и 5.00 мм.



PREMIUM \varnothing 4.25.



PREMIUM \varnothing 5.00.

Ортопедический компонент - шестигранник	2.30 мм	2.50 мм
Для имплантатов	∅ 3.30 и 3.80 мм	∅ 4.25 и 5.00 мм
В.О.Р.Т. формирователь десны.	A-TMG-MEFL-330 	A-TMG-MEFL-425 
В.О.Р.Т. фрезеруемые абатменты из титана. Соединительный винт входит в комплект.	A-MEFL-330 	A-MEFL-425 
Колпачок В.О.Р.Т. для снятия оттиска. Соединительный винт входит в комплект.	CAP-MEFL-5 	Используйте CAP-MEFL-5
Индивидуальная упаковка. В наборе 10 штук. Крепежные винты для абатментов В.О.Р.Т. поставляется с абатментом, его также можно заказать отдельно в качестве запасной части.	VM2-180 VM2-180-10 	VM2-200 VM2-200-10 

Рекомендуемый момент затяжки для соединительных винтов: 20-25 Н·см.

Если не указано иное, все размеры даны в миллиметрах.

Литые абатменты с основанием из кобальтохромового сплава

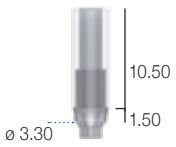
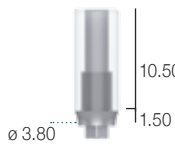
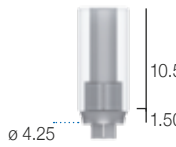
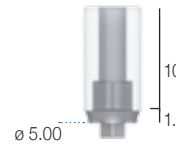
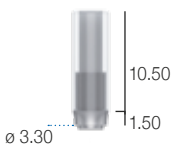
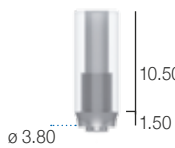
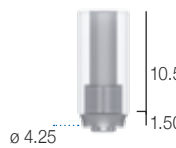
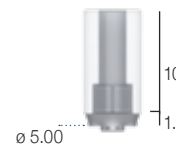
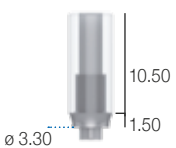
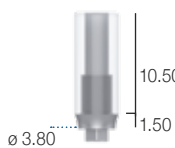
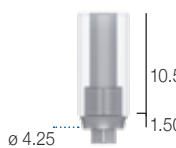
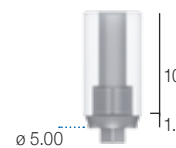
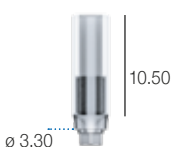
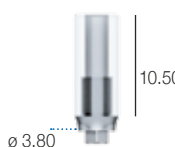
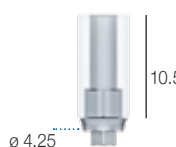
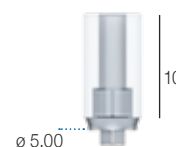


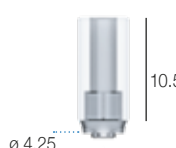
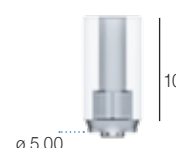
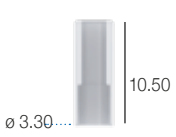
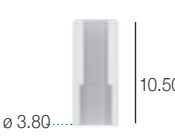
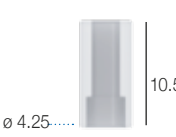



Литые абатменты с основанием из сплава объединяют в себе простоту литых конструкций с основанием из сплава золота, кобальтохромового сплава или титана, биологически совместимых материалов. Точка плавления вышеупомянутых сплавов позволяет защитить основание от изменений в размерах во время обработки литой детали.



Переустанавливаемая версия подходит для создания одиночных элементов.

Основание доступно из сплава золота, титана Grade 5 и кобальт хрома.

Непереустанавливаемая версия несет в себе внутренний соединительный цилиндр, который гарантирует простую установку многих конструкций.

Соединение	ø 3.30 мм	ø 3.80 мм	ø 4.25 мм	ø 5.00 мм
Литые абатменты с готовым основанием из сплава золота. Переустанавливаемые. Анатомический профиль выступания. Соединительный винт входит в комплект.	A-UCR-330-EX 	A-UCR-380-EX 	A-UCR-425-EX 	A-UCR-500-EX 
Литые абатменты с готовым основанием из сплава золота. Непереустанавливаемые. Анатомический профиль выступания. Соединительный винт входит в комплект.	A-UCR-330 	A-UCR-380 	A-UCR-425 	A-UCR-500 
Литые абатменты с готовым основанием из титана Переустанавливаемые. Анатомический профиль выступания. Соединительный винт входит в комплект.	A-UCTR-330-EX 	A-UCTR-380-EX 	A-UCTR-425-EX 	A-UCTR-500-EX 
Литые абатменты с готовым основанием из кобальтхромового сплава. Переустанавливаемые. Анатомический профиль выступания. Соединительный винт входит в комплект.	A-UCRCO-330-EX 	A-UCRCO-380-EX 	A-UCRCO-425-EX 	A-UCRCO-500-EX 
Литые абатменты с готовым основанием из кобальтхромового сплава. Переустанавливаемые. Анатомический профиль выступания. Соединительный винт входит в комплект.	A-UCRCO-330 	A-UCRCO-380 	A-UCRCO-425 	A-UCRCO-500 
Запасные литые втулки для литых абатментов с основанием из сплава. Соединительный винт в комплект не входит.	A-CCUCR-330 	A-CCUCR-380 	A-CCUCR-425 	A-CCUCR-500 
Индивидуальная упаковка. В наборе 10 штук. Соединительный винт для абатментов. Поставляется с абатментами, его также можно заказать отдельно в качестве запасной части.	VM2-180 VM2-180-10 	Используйте VM2-180	VM2-200 VM2-200-10 	Используйте VM2-200

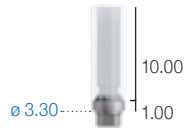
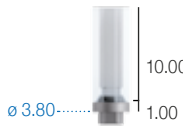
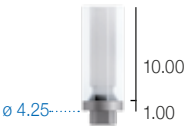
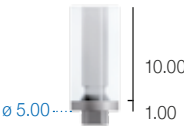



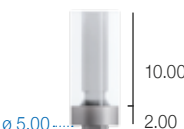


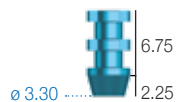

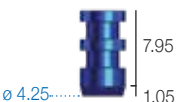


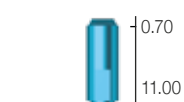

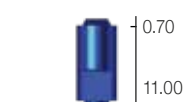

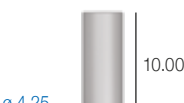




Рекомендуемый момент затяжки для соединительных винтов: 20-25 Н•см.

Если не указано иное, все размеры даны в миллиметрах.

Протез на промежуточных абатментах

Данные абатменты имеют прямой профиль выступания и несут в себе переустанавливаемое основание из титана Grade 5, характеризующееся маленьким верхним конусом высотой 0.70 мм, одинаковым для всех диаметров соединения, что обеспечивает установку и удаление различных супраструктур. Абатмент поставляется с литой втулкой для моделирования и отливки супраструктуры, а также с проходным винтом. Обычно при использовании данных абатментов оттиск получают напрямую с имплантатов, используя для этого трансферы. В том случае, если для временного абатмента используется титановое основание абатментов, оттиск передается в лабораторию с помощью специальных трансферов, а литую втулку отправляют в лабораторию с соответствующим соединительным винтом (опция, которая доступна только для диаметра < 4.25 мм). Для создания временного протеза используется титановая втулка, которая поставляется с соответствующим соединительным винтом.



Соединение	ø 3.30 мм	ø 3.80 мм	ø 4.25 мм	ø 5.00 мм
Прямые абатменты с фиксирующими винтами. Переустанавливаемые. Трансгингивальная высота 1.00 мм. Соединительный винт входит в комплект.	A-ABU-330-1 	A-ABU-380-1 	A-ABU-425-1 	A-ABU-500-1 
Прямые абатменты с фиксирующими винтами. Переустанавливаемые. Трансгингивальная высота 2.00 мм. Соединительный винт входит в комплект.	A-ABU-330-2 	A-ABU-380-2 	A-ABU-425-2 	A-ABU-500-2 
Соединительный винт для абатментов. Поставляется с абатментами, его также можно заказать отдельно в качестве запасной части.	A-VABU-180 	Используйте A-VABU-180	A-VABU-200 	Используйте A-VABU-200
Трансфер для открытой ложки для стандартных абатментов. Непереустанавливаемый. Соединительный винт входит в комплект.	A-TRABU-330 	A-TRABU-380 	A-TRABU-425 	-
Индивидуальная упаковка Запасной винт для трансферов абатментов. Поставляется с трансферами, его также можно заказать отдельно в качестве запасной части.	A-VTRABU-180 	Используйте A-VTRABU-180	A-VTRABU-200 	Используйте A-VTRABU-200
Аналоги для стандартных абатментов. Непереустанавливаемые. Соединительный винт входит в комплект.	A-ANABU-330 	A-ANABU-380 	A-ANABU-425 	-
Индивидуальная упаковка. Титановые втулки для абатментов. Соединительный винт входит в комплект.	-	A-CTABU-380-ROT 	A-CTABU-425-ROT 	-
Индивидуальная упаковка Запасные литые втулки для абатментов. Соединительный винт в комплект не входит.	A-CCABU-330-ROT 	A-CCABU-380-ROT 	A-CCABU-425-ROT 	A-CCABU-500-ROT 

Рекомендуемый момент затяжки для соединительных винтов: 20-25 Н·см.

Если не указано иное, все размеры даны в миллиметрах.

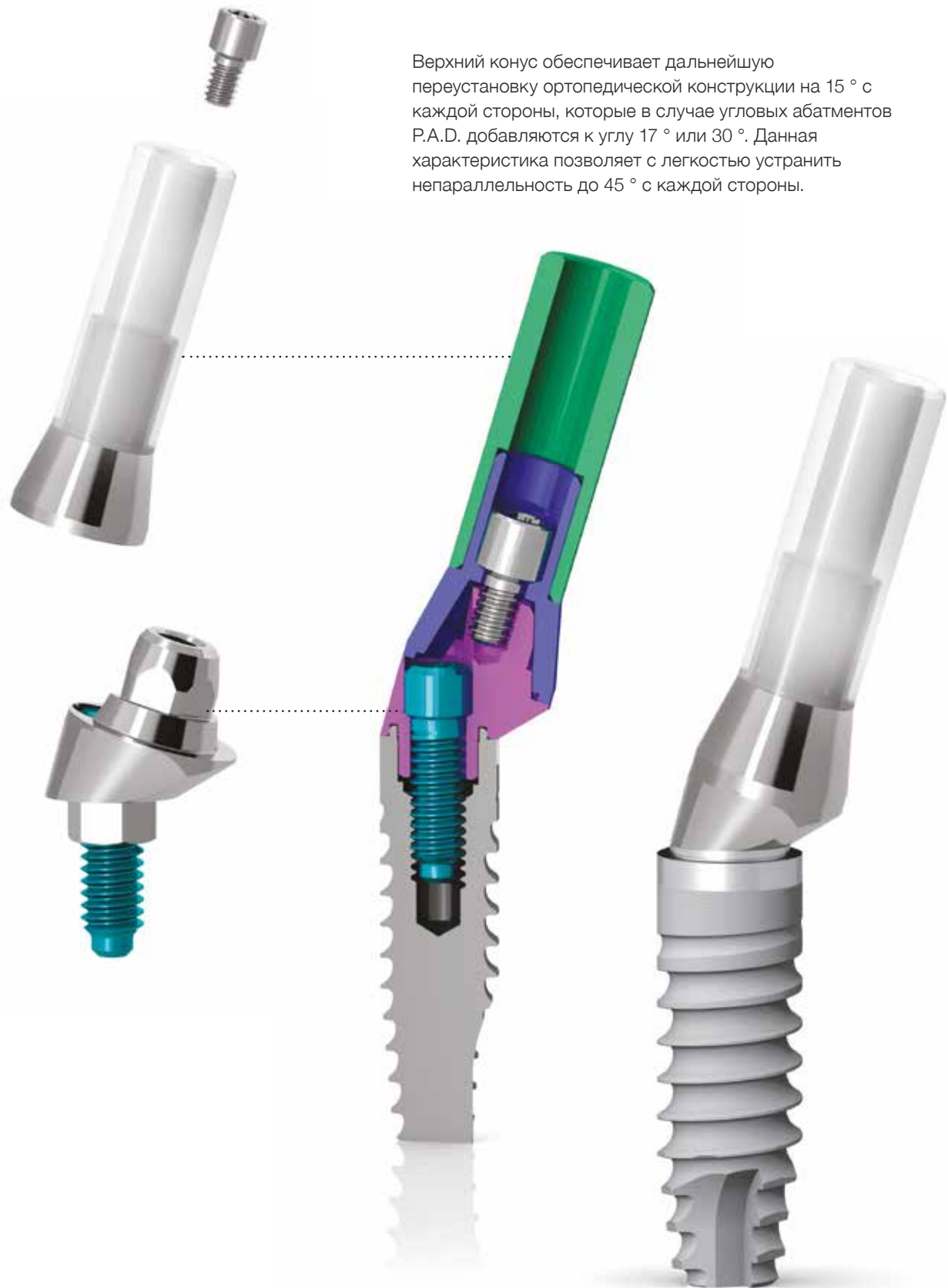
P.A.D. (Непараллельный Винтовой Протез)

Компоненты P.A.D. (Непараллельный Винтовой Протез) были разработаны, чтобы облегчить создание различных винтовых протезов.

Угловые абатменты P.A.D. - решение для имплантатов, которые устанавливаются в дистальные отделы.




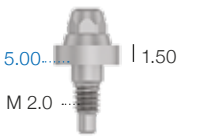


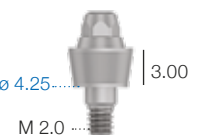
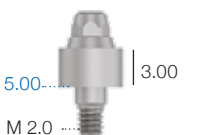


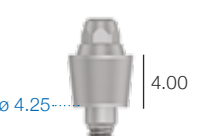
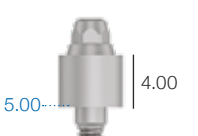
Абатменты P.A.D.: имеют одинаковый верхний конус, расположенный под углом 15° , что облегчает установку и удаление различных винтовых протезов.





Верхний конус обеспечивает дальнейшую переустановку ортопедической конструкции на 15° с каждой стороны, которые в случае угловых абатментов P.A.D. добавляются к углу 17° или 30° . Данная характеристика позволяет с легкостью устранить непараллельность до 45° с каждой стороны.





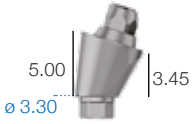







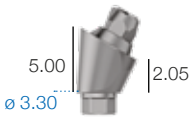



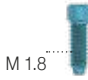

Прямые P.A.D.


Соединение	ø 3.30 мм	ø 3.80 мм	ø 4.25 мм	ø 5.00 мм
Прямые абатменты P.A.D.. Прямой абатмент с винтовой фиксацией. Трансгингивальная высота 1.50 мм.	A-PAD-AD330-15 	A-PAD-AD380-15 	A-PAD-AD425-15 	A-PAD-AD500-15 
Прямые абатменты P.A.D.. Прямой абатмент с винтовой фиксацией. Трансгингивальная высота 3.00 мм.	A-PAD-AD330-30 	A-PAD-AD380-30 	A-PAD-AD425-30 	A-PAD-AD500-30 
Прямые абатменты P.A.D.. Прямой абатмент с винтовой фиксацией. Трансгингивальная высота 4.00 мм.	A-PAD-AD330-40 	A-PAD-AD380-40 	A-PAD-AD425-40 	A-PAD-AD500-40 

Пожалуйста, обратите внимание: Для переноса прямых абатментов P.A.D. в ротовую полость в каждой упаковке есть практичный пластмассовый держатель (код AW-ABUT-DG, не продается отдельно).

Рекомендуемый момент затяжки: 25-30 Н·см.

Угловой P.A.D.

Соединение	ø 3.30 мм	ø 3.80 мм	ø 4.25 мм	ø 5.00 мм
Абатменты P.A.D., угловые 17°. Трансгингивальная высота 3.00 мм. Соединительный винт входит в комплект.	A-PAD-AA330-173 	A-PAD-AA380-173 	A-PAD-AA425-173 	A-PAD-AA500-173 
Абатменты P.A.D., угловые 17°. Трансгингивальная высота 5.00 мм. Соединительный винт входит в комплект.	A-PAD-AA330-175 	A-PAD-AA380-175 	A-PAD-AA425-175 	A-PAD-AA500-175 
Абатменты P.A.D., угловые 30°. Трансгингивальная высота 3.00 мм. Соединительный винт входит в комплект.	A-PAD-AA330-303 	A-PAD-AA380-303 	A-PAD-AA425-303 	A-PAD-AA500-303 
Абатменты P.A.D., угловые 30°. Трансгингивальная высота 5.00 мм. Соединительный винт входит в комплект.	A-PAD-AA330-305 	A-PAD-AA380-305 	A-PAD-AA425-305 	A-PAD-AA500-305 
Индивидуальная упаковка. В наборе 10 штук. Соединительный винт для штифтов поставляется с P.A.D., его также можно заказать отдельно в качестве запасной части.	PAD-VM-180 PAD-VM-180-10 	Используйте PAD-VM-180	PAD-VM-180 PAD-VM-180-10 	Используйте PAD-VM-180




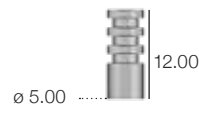
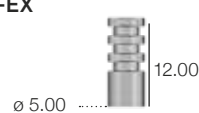
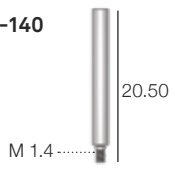
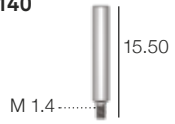
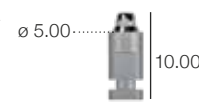

Описание	Код
Держатель для переноса угловых абатментов в полость рта, стерилизуемый и повторно используемый. Не входит в хирургический набор, его следует приобрести отдельно.	PAD-CAR 


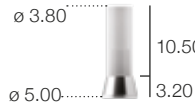
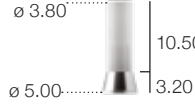

Пожалуйста, обратите внимание: для переноса угловых абатментов P.A.D. в ротовую полость в каждой упаковке есть практичный пластмассовый держатель (код AW-ABUT-DG, не продается отдельно).

Рекомендуемый момент затяжки для соединительных винтов: 20-25 Н·см.



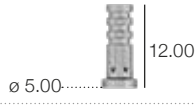
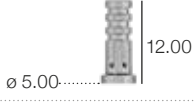


Если не указано иное, все размеры даны в миллиметрах.

Компоненты P.A.D. для супраструктур

Описание	Код
Защитные колпачки для абатментов P.A.D. из титана Grade 5, используются в том случае, если абатменты остаются привинченными к имплантату во время лабораторного этапа. Соединительный винт входит в комплект (код PAD-VP-140), поставляется также в качестве запасной части, следует затягивать с моментом затяжки 8-10 Н•см.	PAD-CG 
Защитные колпачки для абатментов P.A.D. из PEEK, используются в том случае, если абатменты остаются привинченными к имплантату во время лабораторного этапа. Рекомендуемый момент затяжки: 8-10 Н•см.	PAD-CGP 
Вращающиеся колпачки из POM для получения прямых оттисков с абатментов P.A.D..	PAD-CAP 
Невращающиеся колпачки из POM для получения прямого оттиска с абатментов P.A.D., с шестигранником.	PAD-CAP-EX 
Трансфер для открытой ложки из титана Grade 5 для абатментов P.A.D., вращающийся. В комплект входит длинный винт-трансфер (код PAD-VTRAL-140), подходящий для открытых оттисковых ложек, он поставляется также в качестве запасной части.	PAD-TRA 
Трансфер для открытой ложки из титана Grade 5 для абатментов P.A.D., с шестигранником, невращающийся. В комплект входит длинный винт-трансфер (код PAD-VTRAL-140), подходящий для открытых оттисковых ложек, он поставляется также в качестве запасной части.	PAD-TRA-EX 
Запасной длинный винт для переноса абатмента P.A.D. Поставляется с трансферами, его можно заказать отдельно в качестве запасной части.	PAD-VTRAL-140 
Запасной винт для переноса абатмента P.A.D. Поставляется с трансферами, его можно заказать отдельно в качестве запасной части.	PAD-VTRA-140 
Аналог для абатмента P.A.D. из титана Grade 5.	PAD-ANA 
Литые втулки из PMMA для абатментов P.A.D., вращающиеся. Соединительный винт входит в комплект. Внимание: Рекомендуемый момент затяжки для всех супраструктур, полученных путем литья на абатментах, составляет 20-25 Н•см. Однако перед началом литья работникам лаборатории следует быть особенно внимательными, чтобы гарантировать отсутствие фиксации литых втулок к моделям с моментом затяжки, превышающим 8-10 Н•см, поскольку полимеры не обладают такой стойкостью как металл.	PAD-CC 

Описание	Код
Литые втулки из PMMA для абатментов P.A.D., с шестигранником, невращающиеся. Соединительный винт входит в комплект. Внимание: Рекомендуемый момент затяжки для всех супраструктур, полученных путем литья на абатментах, составляет 20-25 Н•см. Однако перед началом литья работникам лаборатории следует быть особенно внимательными, чтобы гарантировать отсутствие фиксации литых втулок к моделям с моментом затяжки, превышающим 8-10 Н•см, поскольку полимеры не обладают такой стойкостью как металл.	PAD-CC-EX 
Литые втулки из PMMA для абатментов P.A.D., с шестигранником, невращающиеся. Соединительный винт входит в комплект. Внимание: Рекомендуемый момент затяжки для всех супраструктур, полученных путем литья на абатментах, составляет 20-25 Н•см. Однако перед началом литья работникам лаборатории следует быть особенно внимательными, чтобы гарантировать отсутствие фиксации литых втулок к моделям с моментом затяжки, превышающим 8-10 Н•см, поскольку полимеры не обладают такой стойкостью как металл.	PAD-UC 
Литые штифты из PMMA с готовым основанием из кобальтохромового сплава, вращающиеся, непереустанавливаемые, для литья на абатментах P.A.D. Соединительный винт входит в комплект, следует затягивать с моментом затяжки 20-25 Н•см. Головка винта никогда не опирается на PMMA, она всегда опирается на основание из сплава. Литая втулка также доступна в качестве запасной части (код A-CCUCR-330).	PAD-UCRCO 
Индивидуальная упаковка. В наборе 10 штук. Запасной винт для ортопедических компонентов абатмента P.A.D. поставляется со всеми компонентами для производства супраструктур, а также в качестве запасной части.	PAD-VP-140 

Компоненты P.A.D.

Описание	Код
Втулки PEEK для абатментов P.A.D., вращающиеся. Они разработаны специально для создания временных протезов или в тех случаях, когда необходимо перебазировать старый протез и использовать как временный. Соединительный винт входит в комплект, следует затягивать с моментом затяжки 20-25 Н•см.	PAD-CP 
Втулки PEEK для абатментов P.A.D., с шестигранником, невращающиеся. Они разработаны специально для создания временных протезов или в тех случаях, когда необходимо перебазировать старый протез и использовать как временный. Соединительный винт входит в комплект, поставляется также в качестве запасной части.	PAD-CP-EX 
Втулки из титана Grade 5 для абатментов P.A.D., вращающиеся. Они созданы специально для процесса немедленного и окончательного восстановления или для того, чтобы выполнить перебазировку старого протеза, который будет использоваться как временный штифт. Соединительный винт входит в комплект (код PAD-VP-140), поставляется также в качестве запасной части.	PAD-CT 
Втулки из титана Grade 5 для абатментов P.A.D., с шестигранником, невращающиеся. Они созданы специально для процесса немедленного и окончательного восстановления или для того, чтобы выполнить перебазировку старого протеза, который будет использоваться как временный штифт. Соединительный винт входит в комплект (код PAD-VP-140), поставляется также в качестве запасной части.	PAD-CT-EX 
Литые штифты из PMMA для того, чтобы выполнять цементирование на титановых втулках. Эффективны для реставраций без остаточного напряжения.	PAD-CCEM 
Индивидуальная упаковка. В наборе 10 штук. Запасной винт для ортопедических компонентов абатмента P.A.D. Поставляется со всеми компонентами для производства супраструктуры, а также в качестве запасной части.	PAD-VP-140 

Рекомендуемый момент затяжки для защитных колпачков: 8-10 Н•см.

Рекомендуемый момент затяжки для соединительных винтов: 20-25 Н•см.

Важное предупреждение

Рекомендуем всегда использовать проверочные винты для выполнения лабораторного этапа работ, и сохранять новый винт, входящий в комплект, для окончательного соединения в ротовой полости.

Протез R.A.D. для Методики «D.P.F.» (Прямой Ортопедический Каркас)

Компоненты D.P.F. были разработаны специально для того, чтобы непосредственно в ротовой полости создать литую композитную конструкцию, которая была бы абсолютно пассивной и не ограничивалась геометрией соединения. Временная конструкция, созданная таким образом, может также использоваться в качестве шаблона для заключительного протеза.

ШАГ 1

Литой стержень фиксируется к колпачкам с помощью фотополимеризуемого композитного материала.










ШАГ 3

Собранная конструкция отливается в лаборатории, что позволяет получить металлическую конструкцию для создания готового каркаса.



ШАГ 2

После фотополимеризации соединения конструкцию можно удалить из ротовой полости.

Описание	Код
<p>Набор всех ортопедических компонентов для техники «D.P.F.» на единственном абатменте P.A.D. Набор включает титановую втулку (PAD-CT-LV), литой центрирующий механизм (PAD-CC-LV), фиксирующую заглушку (PAD-TR-LV), защитное кольцо (PAD-ORING-LV) и соединительный винт (PAD-VP-140), следует затягивать с моментом затяжки 20-25 Н•см, поставляются также в качестве запасной части.</p>	<p>PAD-LV</p> 
<p>Запасная титановая втулка для техники «D.P.F.». В набор не входит соединительный винт.</p>	<p>PAD-CT-LV</p> 
<p>Запасной литой центрирующий механизм для методики «D.P.F.».</p>	<p>PAD-CC-LV</p> 
<p>Запасная фиксирующая заглушка для методики «D.P.F.».</p>	<p>PAD-TR-LV</p> 
<p>Запасное кольцо для методики «D.P.F.».</p>	<p>PAD-ORING-LV</p> 
<p>Индивидуальная упаковка. В наборе 10 штук. Винт для ортопедических компонентов абатмента P.A.D. Поставляется со всеми компонентами для создания каркаса, а также в качестве запасной части.</p>	<p>PAD-VP-140 PAD-VP-140-10</p> 
<p>Литой стержень, длина 5.00 см, диаметр 2.20 мм.</p>	<p>BARC</p> 

Рекомендуемый момент затяжки для соединительных винтов: 20-25 Н•см.

Если не указано иное, все размеры даны в миллиметрах.











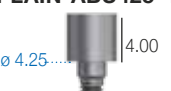






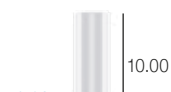
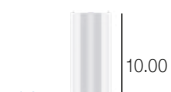
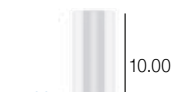

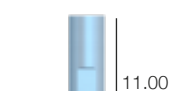
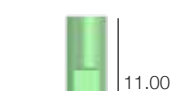
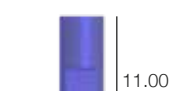

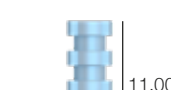
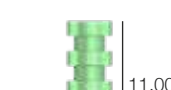
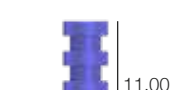
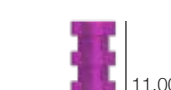
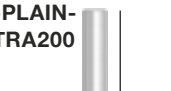
Протез на абатментах PLAIN

Абатменты PLAIN имеют особую геометрию верхней части, которая, с помощью очень маленькой направляющей соединяется с обычными литыми втулками.

Преимущества данных абатментов заключаются в том, что они позволяют центровать и переустанавливать конструкции, привинченные к нескольким имплантатам.

Формирователи десны позволяют создать оптимальную форму мягких тканей, что достигается благодаря профилю выступа, который расширяется у коронки. Формирователи десны не имеют проходного винта, они вставляются непосредственно в абатмент.



Соединение	ø 3.30 мм	ø 3.80 мм	ø 4.25 мм	ø 5.00 мм
Абатмент PLAIN с фиксацией прямым винтом. Трансгингивальная высота 2.00 мм.	A-PLAIN-ABU330-2 	A-PLAIN-ABU380-2 	A-PLAIN-ABU425-2 	A-PLAIN-ABU500-2 
Абатмент PLAIN с фиксацией прямым винтом. Трансгингивальная высота 3.00 мм.	A-PLAIN-ABU330-3 	A-PLAIN-ABU380-3 	A-PLAIN-ABU425-3 	A-PLAIN-ABU500-3 
Абатмент PLAIN с фиксацией прямым винтом. Трансгингивальная высота 4.00 мм.	A-PLAIN-ABU330-4 	A-PLAIN-ABU380-4 	A-PLAIN-ABU425-4 	A-PLAIN-ABU500-4 
Формирователь десны для абатмента PLAIN.	A-PLAIN-CG330 	A-PLAIN-CG380 	A-PLAIN-CG425 	A-PLAIN-CG500 
Литые втулки для абатментов PLAIN. Соединительный винт входит в комплект.	A-PLAIN-CC330 	A-PLAIN-CC380 	A-PLAIN-CC425 	A-PLAIN-CC500 
Индивидуальная упаковка. В наборе 10 штук. Опоры T-Connect из титана Grade 5 для изготовленных на заказ абатментов из циркония. Переустанавливаемые. Соединительный винт входит в комплект.	A-PLAIN-VP200 A-PLAIN-VP200-10 	Используйте A-PLAIN-VP200	Используйте A-PLAIN-VP200	Используйте A-PLAIN-VP200
Аналог абатмента PLAIN.	A-PLAIN-ANA-330 	A-PLAIN-ANA-380 	A-PLAIN-ANA-425 	A-PLAIN-ANA-500 
Трансфер для абатмента PLAIN. Соединительный винт входит в комплект.	A-PLAIN-TRA-330 	A-PLAIN-TRA-380 	A-PLAIN-TRA-425 	A-PLAIN-TRA-500 
Запасной винт для трансферов PLAIN. Поставляется с трансферами для абатмента PLAIN, его можно также заказать отдельно в качестве запасной части.	A-PLAIN-VTRA200 	Используйте A-PLAIN-VTRA200	Используйте A-PLAIN-VTRA200	Используйте A-PLAIN-VTRA200

Рекомендуемый момент затяжки для винтов трансфера - 8•10 Нсм, для соединительных винтов - 20•25 Нсм, для абатментов - 25•30 Нсм.
Если не указано иное, все размеры даны в миллиметрах.

T-Connect (Ти-Коннект)

Опоры T-Connect могут использоваться для создания индивидуализированных абатментов из циркония с помощью открытых CAD/CAM систем, поскольку они обеспечивают точность соединения между платформами, которые могут быть получены с использованием традиционных компонентов.



Ø Ортопедического компонента	3.30 мм	3.80 мм	4.25 мм	5.00 мм	4.25 мм	5.00 мм
Для имплантатов Ø	3.30 - 3.80			4.25 - 5.00		
T-Connect для одианрного протеза. Конус для цементирования В. 4.00 мм Соединительный винт входит в комплект.	A-BASTZR-S-330-4 	A-BASTZR-S-380-4 	AS-BASTZR-S-425-4 	AS-BASTZR-S-500-4 	A-BASTZR-S-425-4 	A-BASTZR-S-500-4
T-Connect для одианрного протеза. Конус для цементирования В. 6.00 мм Соединительный винт входит в комплект.	A-BASTZR-S-330-6 	A-BASTZR-S-380-6 	AS-BASTZR-S-425-6 	AS-BASTZR-S-500-6 	A-BASTZR-S-425-6 	A-BASTZR-S-500-6
T-Connect для составных протезов. Конус для цементирования В. 4.00 мм Соединительный винт входит в комплект.	A-BASTZR-M-330-4 	A-BASTZR-M-380-4 	AS-BASTZR-M-425-4 	AS-BASTZR-M-500-4 	A-BASTZR-M-425-4 	A-BASTZR-M-500-4
T-Connect для составных протезов. Конус для цементирования В. 6.00 мм Соединительный винт входит в комплект.	A-BASTZR-M-330-6 	A-BASTZR-M-380-6 	AS-BASTZR-M-425-6 	AS-BASTZR-M-500-6 	A-BASTZR-M-425-6 	A-BASTZR-M-500-6
Втулка для воскового моделирования на T-Connect при В. конуса 4.00 мм.	A-CCBAS-330-4 	A-CCBAS-380-4 	A-CCBAS-425-4 	A-CCBAS-500-4 	A-CCBAS-425-4 	A-CCBAS-500-4
Втулка для воскового моделирования на T-Connect при В. конуса 6.00 мм.	A-CCBAS-330-6 	A-CCBAS-380-6 	A-CCBAS-425-6 	A-CCBAS-500-6 	A-CCBAS-425-6 	A-CCBAS-500-6
Индивидуальная упаковка. В наборе 10 штук. Запасной винт для опор T-Connect поставляется с опорами T-Connect, его также можно заказать отдельно в качестве запасной части.	VM2-180 VM2-180-10 	Используйте VM2-180	Используйте VM2-180	Используйте VM2-180	VM2-200 VM2-200-10 	Используйте VM2-200

Важное предупреждение

Рекомендуем всегда использовать проверочные винты для выполнения лабораторного этапа работ, и сохранять новый винт, входящий в комплект, для окончательного соединения в ротовой полости.

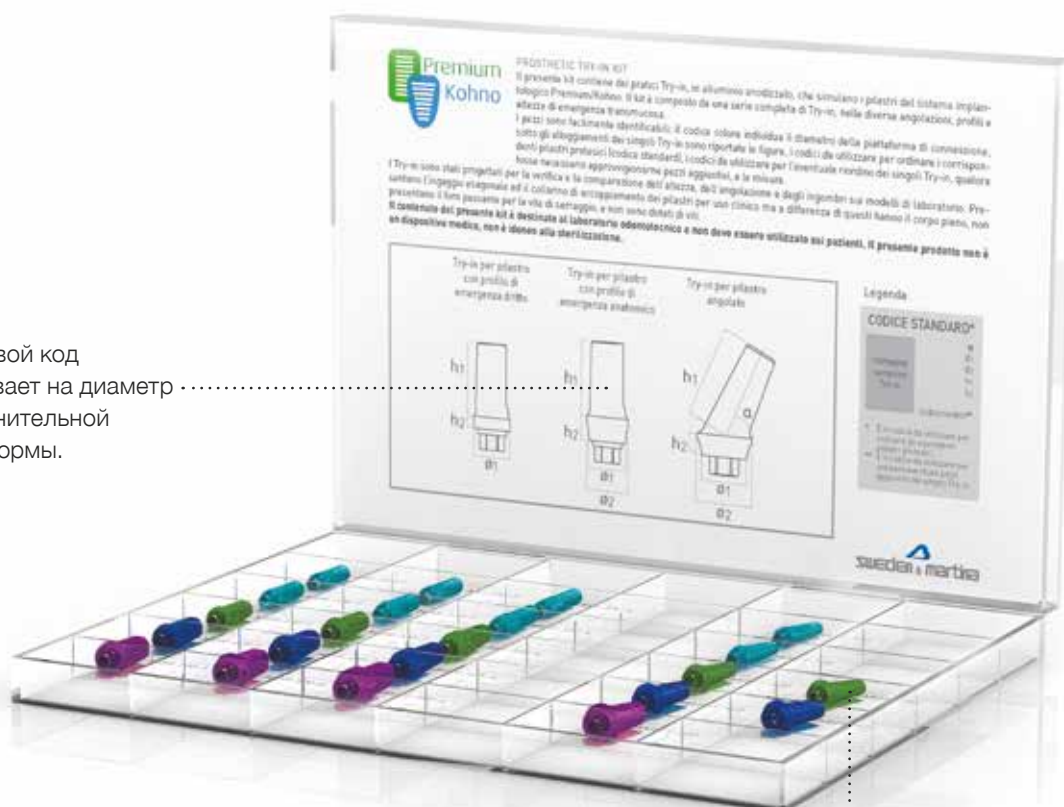
Рекомендуемый момент затяжки для соединительных винтов: 20-25 Н·см.

Если не указано иное, все размеры даны в миллиметрах.

Набор для примерки

Набор состоит из серии абатментов для примерки из анодированного алюминия, с различными углами, профилями и высотой трансгингивального выступа, которые используются для проверки промежутков, занятых ортопедическими штифтами на этапе проектирования модели.


Коробка из оргстекла промаркирована под каждой ячейкой соответствующим схематическим обозначением части, с детальной информацией о размерах и двумя кодами соответствующего штифта, который должен быть заказан для заключительного протеза, а в нижней правой части кодом Набора для примерки для повторного заказа в случае необходимости.



Цветовой код указывает на диаметр соединительной платформы.

Не используйте винт, поскольку шестигранные соединения оснащены удерживающими выступами. Трение также позволяет использовать систему для примерки в артикуляторе на модели верхней дуги.



Описание	код	
Полный набор для примерки имплантатов PREMIUM (Straight и SP).	A-TRY-IN-KIT-INT	

Абатмент-локатор

Абатмент-Локатор* представляет собой запатентованное и универсальное ортопедическое решение для присоединения съемных зубных протезов к имплантатам. Система локатора корректирует несоответствие расходящихся имплантатов до 40 ° (20 ° для каждого имплантата) даже в ограниченных окклюзионных промежутках.






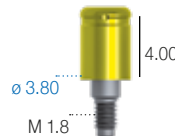

Абатменты сделаны из титана Grade 5 и поставляются разной трансгингивальной высоты. Локаторы следует затягивать с усилием 25-30 Н·см, используя для этого специальный ключ, который входит в ортопедический набор, а также поставляется отдельно по требованию (код 8926-SW, короткий, и код 8927-SW, длинный).



Самонаправляющая конструкция головки абатмента-локатора позволяет с легкостью установить протез.






Система локатора оснащена стальным или титановым колпачком, в то время как фиксатор располагается внутри протеза. Когда фиксатор теряет свои свойства, его можно заменить, при этом металлический колпачок остается фиксированным к протезу.

* Абатменты-локаторы представляют собой устройства медицинского назначения, которые производятся и запатентованы компанией Zest Anchors, Inc., 2061 Вайнридж Глейс, Эскондидо, Калифорния 92029, США. Локатор представляет собой зарегистрированную торговую марку компании Zest Anchors, Inc. Европейский агент в целях MDD 93/42/EEC-Ventura Implantand Attachment Systems, 69 авеню, Илинг, Лондон W13 8JR, Англия.

Соединение	Ø 3.30 mm	Ø 3.80 mm	Ø 4.25 mm	Ø 5.00 mm
Абатмент-локатор. Прямой профиль выступания. Трансгингивальная высота 1.00 мм.	1670 	1675 	1681 	2724 
Абатмент-локатор. Прямой профиль выступания. Трансгингивальная высота 2.00 мм.	1671 	1676 	1682 	2725 
Абатмент-локатор. Прямой профиль выступания. Трансгингивальная высота 3.00 мм.	1672 	1677 	1683 	2726 
Абатмент-локатор. Прямой профиль выступания. Трансгингивальная высота 4.00 мм.	-	1678 	1684 	2727 
Абатмент-локатор. Прямой профиль выступания. Трансгингивальная высота 5.00 мм.	-	1679 	1685 	-
Абатмент-локатор. Прямой профиль выступания. Трансгингивальная высота 6.00 мм.	-	1680 	1686 	-

Принадлежности для съемных зубных протезов на абатментах-локаторах

Описание	Код
Набор, содержащий 2 колпачка из титана Grade 5, 2 дистанционных кольца из силикона, 2 черных фиксатора из обработанного полиэтилена (LDPE) с низкой удерживающей способностью и 2 нейлоновых фиксатора для каждого из 4 различных вариантов удерживающей способности.	8519-2 
Набор, содержащий 2 колпачка из титана Grade 5, 2 дистанционных кольца из силикона, 2 черных фиксатора из обработанного полиэтилена (LDPE) с низкой удерживающей способностью и 2 нейлоновых фиксатора для каждого из 4 различных вариантов удерживающей способности, разработанный для сильного нарушения параллельности.	8540-2 
Набор, содержащий 2 стальных колпачка, 2 дистанционных кольца из силикона, 2 черных фиксатора из обработанного полиэтилена (LDPE) с низкой удерживающей способностью и 2 нейлоновых фиксатора для каждого из 4 различных вариантов удерживающей способности, разработанный для сильного нарушения параллельности.	8550-2 
Упаковка из 20 дистанционных колец из силикона.	8514 
Упаковка из 4 черных фиксаторов из обработанного полиэтилена (LDPE) с низкой удерживающей способностью.	8515 
Упаковка из 4 прозрачных нейлоновых фиксаторов, удержание 5 фунтов.	8524 
Упаковка из 4 розовых нейлоновых фиксаторов, удержание 3 фунта.	8527 
Упаковка из 4 синих нейлоновых фиксаторов, удержание 1.5 фунта.	8529 
Упаковка из 4 зеленых нейлоновых фиксаторов, удержание 4 фунта.	8547 
Упаковка из 4 красных нейлоновых фиксаторов, удержание 1 фунт.	8548 
Упаковка из 4 оранжевых нейлоновых фиксаторов, удержание 2 фунта.	8915 

Описание	Код
Упаковка из 4 алюминиевых аналогов для абатментов-локаторов, один размер для всех платформ.	8530 
Упаковка из 4 алюминиевых трансферов для абатментов-локаторов, одного размера для всех платформ. 4 черных фиксатора из полиэтилена (LDPE) с низким удержанием, в комплекте (код 8515), поставляется также в качестве запасной части.	8505 
Упаковка из 4 черных нейлоновых парамельных штифтов (LDPE) для абатментов-локаторов.	8517 
Стальная пластина AISI 316L для измерения углов.	9530 
Стержневой инструмент-локатор. Стальной инструмент, состоящий из ручки, ключа (8390) для установки абатмента-локатора, наконечника (8397) для установки фиксаторов в колпачки и удерживающий кожух (8394) для ключа (8390) для переноса абатмент-локатора в полость рта.	8393 
Сменный стальной наконечник для установки фиксаторов в колпачки.	8397 
Сменный стальной ключ для завинчивания /отвинчивания абатмента.	8390 
Сменный удерживающий кожух для ключа (8390) для переноса абатмент-локатора в полость рта.	8394 
Короткий ключ из титана Grade 5 для завинчивания абатментлокатора. Ключ совместим с динамометрическим реверсивным ключом.	8926-SW 
Длинный ключ из титана Grade 5 для завинчивания абатментлокатора. Ключ совместим с динамометрическим реверсивным.	8927-SW 








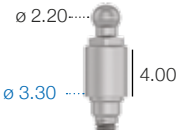
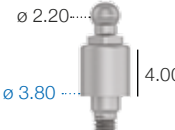
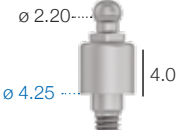

* Абатменты-локаторы представляют собой устройства медицинского назначения, которые производятся и запатентованы компанией Zest Anchors, Inc., 2061 Вайнридж Плейс, Эскондидо, Калифорния 92029, США. Локатор представляет собой зарегистрированную торговую марку компании Zest Anchors, Inc. Европейский агент в целях MDD 93/42/EEC-Ventura Implantand Attachment Systems, 69 авеню, Илинг, Лондон W13 8JR, Англия.

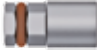
Если не указано иное, все размеры даны в миллиметрах.

Съемные зубные протезы, фиксируемые с помощью шаровидных абатментов

В основании шара есть маленький шестигранник для фиксации ключа. Данный ключ совместим с динамометрическим реверсивным ключом системы.



Соединение	ø 3.30 мм	ø 3.80 мм	ø 4.25 мм	ø 5.00 мм
Шаровидные абатменты. Прямой профиль выступания. Трансгингивальная высота 1.00 мм.	A-AS-330-1 	A-AS-380-1 	A-AS-425-1 	-
Шаровидные абатменты. Прямой профиль выступания. Трансгингивальная высота 2.00 мм.	A-AS-330-2 	A-AS-380-2 	A-AS-425-2 	A-AS-500-2 
Шаровидные абатменты. Прямой профиль выступания. Трансгингивальная высота 4.00 мм.	A-AS-330-4 	A-AS-380-4 	A-AS-425-4 	-
Аналог шаровидных абатментов.	ANAS 	Используйте ANAS	Используйте ANAS	Используйте ANAS



Описание	Код
Стальной ключ для шаровидных абатментов, с соединением для динамометрического реверсивного ключа или ручным соединением. Не входит в хирургический набор, входит в ортопедический набор и можно заказать отдельно.	BASCC-EX 

Рекомендуемый момент затяжки для соединительных винтов: 25-30 Н·см.






Если не указано иное, все размеры даны в миллиметрах.

Принадлежности для съемных зубных протезов на шаровидных анкерах


Полиамидные колпачки для шаровидных анкеров

Описание	Код
Полиамидный колпачок для шаровидных анкеров, диаметр 2.20 мм.	CAP-TFL-1 
Стальной контейнер для полиамидного колпачка внешним диаметром 4.80 мм. Общая высота составляет 3.20 мм.	CONT-CAP-TFL-1 

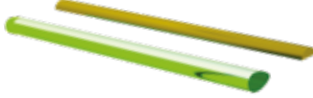



Титановые колпачки для шаровидных анкеров

Описание	Код
Колпачки из титана Grade 5 с колпачком из двух частей, с титановой удерживающей пружиной и пластмассовым монтажным кольцом для шаровидных анкеров диаметром 2.20 мм. Общая высота составляет 3.20 мм.	CAP-TIT-1 
Запасное пластмассовое кольцо для титанового колпачка высотой 2.20 мм.	AN-CAP-TIT-1 
Запасная удерживающая пружина для титанового колпачка, средней жесткости, стальная, диаметр \varnothing 3.20 мм.	MOL1-CAP-TIT-1 
Запасная удерживающая пружина для титанового колпачка, мягкая, для прогрессивной адаптации протеза, стальная, диаметр \varnothing 3.20 мм.	MOL2-CAP-TIT-1 
Инструмент для сборки и обслуживания титанового колпачка для шаровидных анкеров CAP-TIT-1.	AVV-CAP-TIT-1 

Колпачки из сплава золота для шаровидных анкеров

Описание	Код
Колпачок из сплава золота, оснащенный пластмассовым кольцом для установки шаровидных анкеров диаметром 2.20 мм. Общая высота составляет 3.10 мм, а внешний диаметр - 3.50 мм.	CAP-1 

Съемные зубные протезы на балках

Описание	Код
<p>Литая балка, длина 5.00 см, высота 3.00 мм, толщина 1.90 мм Профиль яйцевидной формы с дистанционной деталью.</p>	<p>BARC-CAV-TIT</p> 
<p>Разделяемая балочная система фиксации для овальных балок диаметром 1.90 мм и высотой 3.00 мм.</p>	<p>CAV-TIT</p> 
<p>Литая балка, длина 5.00 см, диаметр 1.90 мм.</p>	<p>BARC</p> 
<p>Система фиксации для балок из сплава золота, для круглых балок диаметром 1.90 мм.</p>	<p>CAV-375</p> 

Если не указано иное, все размеры даны в миллиметрах.

Библиография по имплантатам Sweden & Martina с 2013 года

For older publications please consult

“Scientifica – Implantology Bibliographic Review”

-Rancitelli D., Ciccì M., Lini F., Fumagalli D., Frigo C., Maiorana C. Reproducibility of a Digital Method to Evaluate Soft Tissue Modifications: A study of Inter and Intra-Operative Measurement Concordance. *The Open Dentistry Journal*, 2017, 11, 171-180 DOI: 10.2174/1874210601711010171

-Sanz-Martin I., Noguero F., Ortiz-Vigon A., Sanz-Sanchez I., Cok S., Sanz M. Randomized controlled clinical trial comparing two dental implants with different neck configurations. *Clin Implant Dent Relat Res*. 2017;1-11

-Solá-Ruiz F., Del Rio Highsmith J., Lobaig-Rueda C., Agustin-Panadero R. Biologically oriented preparation technique (BOPT) for implant-supported fixed prostheses *J Clin Exp Dent*. 2017;9(4):e603-7. doi:10.4317/jced.53703

-Deiana T., Menini M., Calimodio I., Canepa P., Setti P., Pera P. AIOF XXXV International Congress Bologna, November 17-19, 2016

-Vigolo P., Gracis S., Carboncini F., Mutinelli S., Internal- vs External-Connection Single Implants: A Retrospective Study in an Italian Population Treated by Certified Prosthodontists *Int J Oral Maxillofac Implants* 2016;31:1385-1396. doi: 10.11607/jomi.4618

-Crespi R., Capparé P., Crespi G., Gastaldi G., Gherlone E., Bone-Level Changes Around Delayed Dental Implants in Previous Large Bone Defects Filled with

Reactive Soft Tissue After Extraction: A Cone Beam Computed Tomography Study. *Int J Oral Maxillofac Implants* 2016;31:1429-1434. doi: 10.11607/jomi.4739

-Bruschi G., Capparé P., Bravi F., Grande N., Gherlone E., Gastaldi G., Crespi R. Radiographic Evaluation of Crestal Bone Level in Split-Crest and Immediate Implant Placement: Minimum 5-Year Follow-up. *Int J Oral Maxillofac Implants* 2017;32:114-120. doi: 10.11607/jomi.4203

-Canullo L., Orlato Rossetti P., Penarrocha D. Identification of *Enterococcus Faecalis* and *Pseudomonas Aeruginosa* on and in Implants in Individuals with Peri-implant Disease: A Cross-Sectional Study. *Int J Oral Maxillofac Implants* 2015;30:583-587. doi: 10.11607/jomi.3946

-Kalemaj Z., Scarano A., Valbonetti L., Rapone B., Grassi F. Bone response to four dental implants with different surface topographies: a histologic and histometric study in minipigs. *Int J Periodontics Restorative Dent* 2016;36:745-754. Doi: 10.11607/prd.2719

-Canullo L., Tallarico M., Penarrocha D., Meloni S., Penarrocha M. Impact of abutment cleaning on peri-implant tissues: 5-year RCT; *Eur J Oral Implantol* 2016;9(3 Suppl 2): S9-S52

-Sanz-Sánchez I., Sanz-Martin I., Ortiz-Vigon A., Cok S., Bollain J., Noguero F., Sanz M. Randomised controlled clinical trial comparing two dental implants with different neck configurations. *Clin. Oral Impl. Res.* 27 (Suppl. 13), 2016

-Canullo L., Tallarico M., Penarrocha M., Garcia B., Penarrocha D. Plasma of argon cleaning treatment on implant abutments in periodontally healthy patients: five years post-loading results of an RCT *Clin. Oral Impl. Res.* 27 (Suppl. 13), 2016

-Mattarozzi M., Manfredi E., Lorenzi A., Smerieri A., Di Blasio A., Macaluso G., Lumetti S., Galli C. Comparison of environmental scanning electron microscopy in low vacuum or wet mode for the investigation of cell biomaterial interactions. *Acta Biomed* 2016; Vol. 87, N. 1: 16-21

-Agabiti I., Botticelli D., Transcrestal sinus floor elevation performed twice with collagen sponges and using a sonic instrument. *J Oral Science Rehabilitation*. 2016 Mar;2(1):40-7

-Cannizzaro G., Felice P., Loi I., Viola P., Ferri V., Leone M., Lazzarini M., Trullenque-Eriksson A., Esposito M. Immediate loading of two (fixed-on-2) versus three (fixed-on-3) implants placed supporting cross-arch fixed prostheses: One-year results from a randomized controlled trial. *Eur J Oral Implantol* 2016;9(2):143-153

-Cannizzaro G., Felice P., Loi I., Viola P., Ferri V., Leone M., Lazzarini M., Trullenque-Eriksson A., Esposito M. Machined versus roughened immediately loaded and finally restored single implants inserted flapless: preliminary 6-month data from a splith-mouth randomised controlled trial; *Eur J Oral Implantol* 2016;9(2):155-163

-Tarazona B., Vidal-Infer A., Alonso-Arroyo A. Bibliometric analysis of the scientific production in Implantology (2009-2013). *Clin. Oral Impl. Res.* 00, 2016, 1-7. doi: 10.1111/clr.12891

-Garcia B., Camacho F., Penarrocha D., Tallarico M., Perez S., Canullo L. Influence of plasma cleaning procedure on the interaction between soft tissue and abutments: a randomized controlled histologic study. *Clin. Oral Impl. Res.* 00, 2016, 1-9 doi: 10.1111/clr.12953

-Botticelli D., Lang NP. Dynamics of osseointegration in various hu-

man and animal models - a comparative analysis. *Clin. Oral Impl. Res.* 00:2016;1-7. doi: 10.1111/clr.12872

-Penarrocha-Oltra D., Monreal-Bello A., Penarrocha-Diago M., Barquero J., Botticelli D., Canullo L., Microbial Colonization of the Peri-Implant Sulcus and Implant Connection of Implants Restored With Cemented Versus Screw-Retained Superstructures: A Cross-Sectional Study *J Periodontol* 2016;87:1002-1011.

-Canullo L., Caneva M., Tallarico M. Ten-year hard and soft tissue results of a pilot double-blinded randomized controlled trial on immediately loaded post-extractive implants using platform-switching concept *Clin. Oral Impl. Res.* 00, 2016, 1-9 doi: 10.1111/clr.12940

-Canullo L., Radovanovi_c S., Delibasic B., Blaya J., Penarrocha D., Rakic M. The predictive value of microbiological findings on teeth, internal and external implant portions in clinical decision making. *Clin. Oral Impl. Res.* 00, 2016, 1-9 doi: 10.1111/clr.12828

-Caroprese M., Lang NP, Rossi F, Ricci S, Favero R, Botticelli D. Morphometric evaluation of the early stages of healing at cortical and marrow compartments at titanium implants: an experimental study in the dog. *Clin. Oral Impl. Res.* 00, 2016; 1-8. doi: 10.1111/clr.12913

-Cannizzaro G., Felice P., Loi I., Viola P., Ferri V., Leone M., Collivasone D., Esposito M. Immediate loading of bimaxillary total fixed prostheses supported by five flapless-placed implants with machined surfaces: a 6-month follow-up prospective single cohort study; *Eur J Oral Implantol* 2016;9(1):67-74

-Barone A., Marconcini S., Giammarinaro E., Mijiritsky E., Gelpi F., Covani U., Clinical Outcomes of Implants Placed in Extraction Sockets and Immediately Restored: A 7-Year Single-Cohort Prospective Study; DOI 10.1111/cid.12393

-Natali A., Bertocchi E., Baldini A., Mulas G., Martinolli M., Bortolini S., A New Volumetric Parameter for a Comparative Finite-Element Analysis of a

Six- or Four-Implant Mandibular Total-Arch Rehabilitation; *Open Journal of Stomatology*, 2016, 6, 12-21

-Annunziata M., Canullo L., Donnarumma G., Caputo P., Nastro L., Guida L. Bacterial inactivation/sterilization by argon plasma treatment on contaminated

titanium implant surfaces: In vitro study. *Med Oral Patol Oral Cir Bucal*. 2016 Jan 1;21 (1):e118-21. doi:10.4317/medoral.20845

-Canullo L., Schlee M., Wagner W., Covani U., on behalf of the Montegrotto Group for the Study of Peri-implant Disease, International Brainstorming Meeting on Etiologic and Risk Factors of Peri-implantitis, Montegrotto (Padua, Italy), August 2014, *INT J ORAL MAXILLOFAC IMPLANTS* 2015;30:1093-1104. doi: 10.11607/jomi.4386

-L. Canullo, Penarrocha-Oltra D., Covani U., Orlato Rossetti P., Microbiologic and Clinical Findings of Implants in Healthy Condition and with Peri-Implantitis, *INT J ORAL MAXILLOFAC IMPLANTS* 2015;30:834-842. doi: 10.11607/jomi.3947

-L. Canullo, T. Genova, M. Tallarico, G. Gautier, F. Mussano, D. Botticelli, Plasma of Argon Affects the Earliest Biological Response of Different Implant

Surfaces: An In Vitro Comparative Study, *Journal of Dental Research* 1-8, DOI: 10.1177/0022034516629119

-Canullo L., Tallarico M., Radovanovic S., Delibasic B., Covani, U., Rakic M. Distinguishing predictive profiles for patientbased risk assessment and diagnostics of plaque induced, surgically and prosthetically triggered peri-implantitis. *Clin. Oral Impl. Res.* 00, 2015, 1-8; doi: 10.1111/clr.12738

-Canullo L., Tallarico M., Penarrocha-Oltra D., Monje A., Wang H., Penarrocha-Diago M., Implant Abutment Cleaning by Plasma of Argon: 5-Year Follow-Up of a Randomized Controlled Trial; *J Periodontol* 2016;87:434-442.

-Canullo L., Cocchetto R., Marinotti F., Oltra DP, Diago MP, Loi I. Clinical evaluation of an improved cementation technique for implant-supported restorations: a randomized controlled trial. *Clin. Oral Impl. Res.* 00, 2015; 1-8; doi: 10.1111/clr.12589

-Crespi R., Capparé P., Gastaldi G., Gherlone E. Immediate Occlusal Loading of Full-Arch Rehabilitations: Screw-Retained Versus Cement-Retained Prosthesis. An 8-Year Clinical Evaluation; *INT J ORAL MAXILLOFAC IMPLANTS* 2014;29:1406-1411; doi: 10.11607/jomi.3746

-Kern J-S, Kern T, Wolfart S, Heussen N. A systematic review and meta-analysis of removable and fixed implant-supported prostheses in edentulous jaws: post-loading implant loss. *Clin. Oral Impl. Res.* 00, 2015, 1-22; doi: 10.1111/clr.12531

-Beolchini M, Lang NP, Gomez Moreno G, Iezzi G, Botticelli D, Calvo Guirado JL. Bone healing at implants with different surface configurations: an experimental study in dogs. *Clin. Oral Impl. Res.* 00, 2015;

- 1-7; doi: 10.1111/clr.12562
- Mainetti T, Lang NP, Bengazi F, Favero V, Soto Cantero L, Botticelli D. Sequential healing at implants installed immediately into extraction sockets. An experimental study in dogs. *Clin. Oral Impl. Res.* 27, 2016, 130-138; doi: 10.1111/clr.12533
- Canullo L., Penarrocha-Oltra D, Covani U, Botticelli D, Serino G, Penarrocha M.; Clinical and microbiological findings in patients with peri-implantitis: a cross-sectional study. *Clin. Oral Impl. Res.* 00, 2015, 1-7; doi: 10.1111/clr.12557
- Agustín-Panadero R., Serra-Pastor B., Chust-López C., Fons-Font A, Ferreiroa A.; Immediate placement of single implant simultaneously with immediate loading in a fresh socket associated to periapical infection: a clinical case report; *J Clin Exp Dent.* 2015;7(1):e175-9; doi:10.4317/jced.52160
- Gandolfi M.G., Siboni F., Piattelli A., Prati C.; Nano-topography, microchemical properties and calcium phosphates nucleation of premium implant surfaces; 30th Annual Congress, American Academy of Osseointegration, San Francisco, 12-14 March 2015, Poster Id 2088727
- Caneva M., Lang N.P., Calvo Guirado J.L., Spriano A.M., Iezzi G., Botticelli D.; Bone healing at bicortically installed implants with different surface configurations. an experimental study in rabbits; *Clinical Oral Implant Research*, 2015; 26:293-299
doi: 10.1111/clr.12475
- Beolchini M, Lang N.P., Gomez Moreno G., Iezzi G., Botticelli D., Calvo Guirado J.L.; Bone healing at implants with different surface configurations: an experimental study in dogs; *Clinical Oral Implant Research*, 2015; 00:1-7, doi: 10.1111/clr.12562
- Baffone G., Lang N.P., Pantani F., Favero G., Ferri M., Botticelli D.; Hard and soft tissue changes around implants installed in regular-sized and reduced alveolar bony ridges. An experimental study in dogs. *Clinical Oral Implant Research*, 2015; 26:96-101; doi: 10.1111/clr.12306
- Bengazi F., Lang N.P., Caroprese M., Velez J.U., Favero V., Botticelli D.; Dimensional changes in soft tissues around dental implants following free gingival grafting: an experimental study in dogs; *Clinical Oral Implant Research*, 2015; 26:176-82; doi: 10.1111/clr.12280
- Morelli F., Lang N.P., Bengazi F., Baffone D., Vila Morales C.D., Botticelli D.; Influence of bone marrow on osseointegration in long bones: an experimental study in sheep; *Clinical Oral Implant Research*, 2015; 26:300-306; doi: 10.1111/clr.12487
- Mainetti T., Lang N., Bengazi F., Sbricoli L., Soto Cantero L., Botticelli D.; Immediate loading of implants installed in a healed alveolar bony ridge or immediately after tooth extraction: an experimental study in dogs; *Clinical Oral Implant Research*, 2015; 26:435-441; doi: 10.1111/clr.12389
- Borgia V., Alfonsi F., Toti P., Tonelli P., Covani U., Barone A.; Immediate restoration of post-extraction implants. a 7 years prospective single cohort study; 30th Annual Congress, American Academy of Osseointegration, San Francisco, 12-14 March 2015, Poster
- Guazzotti P.P.; Carico immediato di impianti post estrattivi: presentazione di un caso clinico full-arch; *Doctor OS*, 2015; XXVI, 01
- Agustín Panadero R., Serra Pastor B., Chust López C., Fons Font A., Ferreiroa A.; Immediate placement of single implant simultaneously with immediate loading in a fresh socket associated to periapical infection: a clinical case report; *Journal of Clinical and Experimental Dentistry* 2015;7(1):e175-9
- Crespi R., Bruschi G. B., Gastaldi G., Cappare P., Gherlone E.F.; Immediate loaded implants in split-crest procedure; *Clinical Implant Dentistry and Related Research*, Article first published online: 17 MAR 2015; DOI: 10.1111/cid.12316
- Peñarrocha Oltra D., Covani U., Peñarrocha Diago M., Peñarrocha Diago M.A.; Immediate versus conventional loading with fixed full-arch prostheses in mandibles with failing dentition: a prospective controlled study; *The International Journal of Oral & Maxillofacial Implants* 2015;30:427-434; doi: 10.11607/jomi.3534
- Canullo L., Peñarrocha Oltra D., Covani U., Botticelli D., Serino G., Peñarrocha Diago M.; Clinical and microbiological findings in patients with peri-implantitis: a cross-sectional study; *Clinical Oral Implants Research* 2015; 00:1-7; doi: 10.1111/clr.12557
- Requena Gómez E., Cervantes Haro M.N., Aragoneses Lamas J.M.; ¿Es la cirugía guiada junto a la carga inmediata una técnica predecible? a propósito de un caso clínico; *Numeri Uno* 2015; 04: 16-19
- Peñarrocha Oltra D., Covani U., Peñarrocha Diago M., Peñarrocha Diago M.A.; Immediate versus conventional loading for the maxilla with implants placed into fresh and healed extraction sites to support a full-arch fixed prosthesis: nonrandomized controlled clinical study; *The International Journal of Oral & Maxillofacial Implants* 2015;30:427-434; doi: 10.11607/jomi.3534
- Bruschi G.B., Crespi R., Cappare P., Grande N., Bruschi E., Gherlone E.; Radiographic evaluation of crestal bone levels of delayed implants at medium-term follow-up; *The International Journal of Oral & Maxillofacial Implants* 2014;29:441-447
doi: 10.11607/jomi.3254
- Prati C., Zamparini F., Ciulla A., Buonavoglia A., Gatto M.R., Piattelli A., Gandolfi M.G.; Evaluation of marginal bone level of premium implants; IADR General Session, Boston 11-14 Marzo 2015, Poster
- Canullo L., Peñarrocha Oltra D., Soldini C., Mazzocco F., Peñarrocha Diago M., Covani U.; Microbiological assessment of the implant-abutment interface in different connections: cross-sectional study after 5 years of functional loading; *Clinical Oral Implantology*, 2015; 26:426-434, doi: 10.1111/clr.12383
- Kern J.S., Kern T., Wolfart S., Heussen N.; Review - a systematic review and meta-analysis of removable and fixed implant-supported prostheses in edentulous jaws: post-loading implant loss; *Clinical Oral Implants Research* 2015; 00:1-22 ; doi: 10.1111/clr.12531
- Martín Anciburo M.A.; Rehabilitación unitaria implantosoportada utilizando la técnica B.O.P.T. ; *Numeri Uno* 2015; 04:11-14
- Agustín Panadero R., Serra Pastor B., Roig Vanaclocha A., Román Rodríguez J.L., Fons Font A.; Mechanical behavior of provisional implant prosthetic abutments; *Medicina Oral, Patología Oral y Cirugía Bucal* 2015; 20(1):e94-102
- Crespi R., Cappare P., Polizzi E.M., Gherlone E.F. ; Tissue remodeling after bone expansion in grafted and ungrafted sockets
The International Journal of Oral & Maxillofacial Implants, 2014;29:699-704; doi: 10.11607/jomi.3535
- Negri B., López Marí M., Maté Sánchez de Val J.E., Iezzi G., Bravo González L.A., Calvo Guirado J.L.; Biological width formation to immediate implants placed at different level in relation to the crestal bone: an experimental study in dogs; *Clinical Oral Implant Research*, 2014; 00:1-11 ;doi: 10.1111/clr.12345
- Esposito M., Ardebili Y., Worthington H.V.; Interventions for replacing missing teeth: different types of dental implants (review); *Cochrane database of systematic reviews*, 2014;22:7; doi: 10.1002/14651858.CD003815.pub4.
- Canullo L., Peñarrocha Oltra D., Peñarrocha Diago M., Rocio A.G., Peñarrocha Diago M.A.; Piezoelectric vs. conventional drilling in implant site preparation: pilot controlled randomized clinical trial with crossover design; *Clinical Oral Implants Research* 2014; 25:1336-43; doi: 10.1111/clr.12278
- Lumetti S., Di Blasio A., Manfredi E., Ghiacci G., Toffoli A., Bonanini M., Macaluso G.M., Galli C.; Implant surface microtopography affects cell the pattern of cell growth, cell-to-cell contacts and the expression of connexin 43; *Clinical Oral Implant Research*, 2014; 25 Suppl 10:222
- Negri M., Galli C., Smerieri A., Macaluso G.M., Manfredi E., Ghiacci G., Toffoli A., Bonanini M., Lumetti S.; The effect of age, gender and insertion site on marginal bone loss around endosseous implants: results from a 3-year trial with premium implant system; *BioMed research International*, 2014; Article ID 369051: 7; doi: org/10.1155/2014/369051
- Quaranta A., Andreana S., Pompa G., Procaccini M.; Active implant peri-apical lesion: a case report treated via guided bone regeneration with a 5-year clinical and radiographic follow-up ; *Journal of Oral Implantology* 2014;40:313-319; doi: 10.1563/AAID-JOI-D-11-00214
- Bowen Antolín A., Ariño B., Arlandi Garrido M.; Regeneración ósea periimplantaria con fosfato de calcio bifásico y ácido poliláctico; *Gaceta Dental*, 2014, 260(7): 174-186
- Mainetti T., Lang N.P., Bengazi F., Favero V., Soto Cantero L., Botticelli D.; Sequential healing at implants installed immediately into extraction sockets. An experimental study in dogs; *Clinical Oral Implant Research*, 2014; 00:1-9; doi: 10.1111/clr.12533
- Covani U., Marconcini S., Ferrini F., Gelpi F., Finotti M., Barone A.; Post-traumatic use of dental implants immediately after tooth extraction - clinical study, *The Journal of Craniofacial Surgery*, 2014; 25:796-798; doi 10.1097/SCS.0000000000000522
- Engelhardt S., Papacosta S., Rathe F., Ozen J., Jansen J.A., Junker R.; Annual failure rates and marginal bone-level changes of immediate compared to conventional loading of dental implants. a systematic review of the literature and meta-analysis; *Clinical Oral Implants Research* 2014;00:1-17; doi: 10.1111/clr.12363
- Romanos G.R., Javed F.; Platform switching minimises crestal bone loss around dental implants: truth or myth?
Journal of Oral Rehabilitation, 2014; 41:700-708; doi: 10.1111/joor.12189
- Strietzel F.P., Neumann K., Hertel M.; Review article: impact of platform switching on marginal peri-implant bone-level changes. a systematic review and meta-analysis. *Clinical Oral Implant Research*, 2014; 00:1-16; doi: 10.1111/clr.12339
- Kinaia B.M., Shah M., Neely A.L., Goodies H.E.; Crestal bone level changes around immediately placed implants: a systematic review and meta-analyses with at least 12 months' follow-up after functional loading; *Journal of Periodontology*, 2014; 85:1537-48; doi: 10.1902/jop.2014.130722. Epub 2014 May 2
- Covani U., Canullo L., Toti P., Alfonsi F., Barone A.; Tissue stability of implants placed in fresh extraction sockets: a 5-year prospective

- single-cohort study ; *Journal of Periodontology*, 2014; 85:e323-332; doi: 10.1902/jop.2014.140175. Epub 2014 May 16.
- D'Ercole S., Tripodi D., Marzo G., Bernardi S., Continenza M.A., Piat-telli A., Iaculli F., Mummolo S.; Microleakage of bacteria in different implant-abutment assemblies: an in vitro study ; *Journal of Applied Biomaterial and Functional Materials*, 2014, accepted June 12; doi: 105301/jabfm.5000214
- Peñarrocha Oltra D., Rossetti P.H., Covani U., Galluccio F., Canullo L.; Microbial leakage at the implant/abutment connection due to implant insertion maneuvers: cross-sectional study 5 years post loading in healthy patients; *Journal of Oral Implantology*, 2014; 23 [Epub ahead of print]
- Maiorana C., Farronato D., Pieroni S., Ciccù M., Andreoni D., Santoro F.; A four-year survival rate multicenter prospective clinical study on 377 implants: correlations between implant insertion torque, diameter and bone quality; *Journal of Oral Implantology* 2014;11 [Epub ahead of print]
- Crespi R., Bruschi G.B., Capparè P., Gherlone E.; The utility of the electric mallet; *The Journal of Craniofacial Surgery*, 2014;25:793-795; doi 10.1097/SCS.0000000000000523
- Schirripa G., Schirripa F.; Carico immediato; *Numeri Uno*, 2014, 19, 22-24
- Csonka M.; Trattamento implantologico delle creste sottili: split crest o gbr? ; *Numeri Uno*, 19: 12-14, 2014
- Machín Muñoz A.; Regeneración ósea y gingival en implantes inmediatos post-extracción; *Numeri Uno* 2014; 01: 20-21
- Peñarrocha Oltra D., Peñarrocha Diago M.A., Canullo L., Covani U., Peñarrocha Diago M.; Patient-reported outcomes of immediate versus conventional loading with fixed full-arch prostheses in the maxilla: a nonrandomized controlled prospective study; *The International Journal of Oral & Maxillofacial Implants*, 2014;29:690-698; doi: 10.11607/jomi.3516
- Baldi D., Colombo J., Pera P., Hauschild U.; Una tecnica minimamente invasiva: implantologia con utilizzo di impianti a diametro ridotto e tecniche cad cam per una provvisorizzazione a lungo termine; *Numeri Uno*, 2014;18: 6-9
- Calesini G., Zarone F., Sorrentino R., Micarelli C., Fabianelli A., Papacchini F., Gherlone E.; Effect of 2 impression techniques on the dimensional accuracy of working implant prosthesis models: an in vitro study; *Journal of Craniofacial Surgery* 2014;25:822-827
- Pellicer Chover H., Peñarrocha Oltra D., Bagán L., Fichy Fernandez A.J., Canullo L., Peñarrocha Diago M.; Single-blind randomized clinical trial to evaluate clinical and radiological outcomes after one year of immediate versus delayed implant placement supporting full-arch prostheses; *Medicina Oral Patología Oral y Cirugía Bucal*, 2014; 19: e295-301
- Morandini E.; La precisione nel cr.co. laser sinterizzato rivestito in ceramica parte 2; *NumeriUno*, 2014;18: 16-19
- De Santis E., Lang N.P., Favero G., Beolchini M., Morelli F., Botticelli D.; Healing at mandibular block-grafted sites. an experimental study in dogs; *Clinical Oral Implant Research*, 2014; 00:1-7; doi: 10.1111/clr.12434
- Cocchetto R.; Improved cementation technique for implant restorations to avoid peri-implant cement remnants: clinical and microscopical evaluation with two different abutment design; *Clinical Oral Implants Research* 2014; 25(Suppl. 10); Doi 10.1111 clr.12458_94
- J. Viña Almunia; Microbial colonization of the implant connection with cemented versus screw-retained suprastructures
Clinical Oral Implants Research, 2014; 25; DOI 10.1111/clr.12458_91
- Ciccù M., Bramanti E., Maticena G., Guglielmino E., Risitano G.; Fem evaluation of cemented-retained versus screw-retained dental implant single-tooth crown prosthesis ; *International Journal of Clinical and Experimental Medicine* 2014; 7(4):817-825
- Vischia F., Roncoroni F.; Ortodonzia protesica mediante tecnica B.O.P.T. ; *Numeri Uno*, 2014;19:19-21
- Loi I.; Tecnica B.O.P.T. su denti e impianti per la riabilitazione di un'arcata completa; *Numeri Uno*, 2014;18:21-22
- Vedove F.; Riabilitazione di elemento singolo in zona estetica con impianto Prama; *Numeri Uno*, 2014;20:18-19
- Gorni F.; Riabilitazione di elemento singolo in zona estetica con impianto Prama RF; *Numeri Uno*, 2014;20:16-17
- Andreoni D.; Riabilitazione di elemento singolo in posizione 4.6 con impianto Prama; *Numeri Uno*, 2014; 20: 20-21
- Sandri L.P.; Utilizzo clinico dei nuovi impianti Prama: inserimento e riabilitazione con un singolo impianto; *Numeri Uno* 2014; 20:22-24
- Loi I.; Riabilitazione implanto-protesica di elemento incisivo frontale con impianto Prama; *Numeri Uno*, 2014; 20:12-13
- Loi I.; Riabilitazione implanto-protesica di ponte distale con impianti Prama ;*Numeri Uno*, 2014; 20:14-15
- Canullo L., Peñarrocha Oltra D., Marchionni S., Bagán L., Peñarrocha Diago M.A., Micarelli C.; Soft tissue cell adhesion to titanium abutments after different cleaning procedures: preliminary results of a randomized clinical trial; *Medicina Oral, Patología Oral y Cirugía Bucal* 2014;19(2):e177-83
- Canullo L., Micarelli C., Bettazzoni L., Magnelli A., Baldissara P.; Shear bond strength of veneering porcelain to zirconia after argon plasma treatment; *The International Journal of Prosthodontics* 2014;27(2):137-139; doi: 10.11607/ijp.3722
- Canullo L., Micarelli C., Bettazzoni L., Koçi B., Baldissara P.; Zirconia-composite bonding after plasma of argon treatment; *The International Journal of Prosthodontics* 2014; 27:267-269; doi: 10.11607/ijp.3686
- Marchetti E., Ratta S., Mummolo S., Tecco S., Pecci R., Bedini R., Marzo G.; Evaluation of an endosseous oral implant system according to uni en iso 14801 fatigue test protocol; *Implant Dentistry*, 2014, Early View in ahead of print; doi: 10.1097/id.151
- Crespi R., Capparè P., Gastaldi G., Gherlone E.F.; Immediate occlusal loading of full-arch rehabilitations: screw-retained versus cement-retained prosthesis. an 8 year clinical evaluation; *International Journal of Oral & Maxillofacial Implants* 2014;29:1406-1411; doi: 10.11607/jomi.3746
- Peñarrocha Oltra D., Candel Martí M.E., Peñarrocha Diago M., Agustín-Panadero R., Canullo L., Peñarrocha Diago M.A.; The horizontal denture: a prosthodontic alternative for patients with severe maxillary atrophy. a technical note; *Journal of Oral Implantology* 2014; 8 [Epub ahead of print]
- Gaspari L.; Tecnica conometrica con provvisorio elettrosaldato per carico immediato; *Italian Dental Journal* 2014; 29, agosto
- Gaspari L.; Implantopotesi conometrica elettrosaldata chairside a carico immediato - caso clinico; *Numeri Uno* 2014;18:12-14
- Pradies Ramiro G., Abad Coronel C., García Martínez I., Ferreiroa Navarro A.; Impresiones fiables: dos propuestas para un mismo objetivo; *Numeri Uno* 2014; 01:6-9
- Beolchini M., Lang N.L., Ricci E., Bengazi F., Garcia Triana B., Botticelli D.; Influence on alveolar resorption of the buccal bony plate width in the edentulous ridge expansion (e.r.e.) – an experimental study in the dog; *Clinical Oral Implant Research*, 2013; 00:1-6 ;doi: 10.1111/clr.12308
- Petrillo N.; Carico immediato full-arch mascellare e mandibolare: un nuovo approccio chirurgico e protesico; *Il Dentista Moderno*, 2013, Novembre: 82-96
- Sisti A., Mottola M.P., Mottola P.; Riabilitazione bilaterale con chirurgia guidata; *Numeri Uno*, 2013; 16:16-18
- Ponzi A.; Echoplan: accuracy dell'implantologia guidata; *Numeri Uno*, 2013;16:12-13
- Morandini E.; La precisione nel cr.co. laser sinterizzato rivestito in ceramica parte 1; *NumeriUno*, 2013; 17: 9-11
- Figliuzzi M. M., De Fazio R., Tiano R., Scordamaglia F., Fortunato L.; Riabilitazione con impianto post-estrattivo immediato in zona estetica: case report; *Numeri Uno*, 17, 2013, 21-22
- Canullo L., Cicchese P., Marinotti F.; Riabilitazione implanto-supportata di entrambi i mascellari edentuli con carico immediato; *Numeri Uno*, 2013; 16, 14-15
- Beolchini M., Lang N.L., Viganò P., Bengazi F., Triana B.G., Botticelli D.; The edentulous ridge expansion (ere) technique an experimental study in the dog; *Clinical Oral Implant Research*, 2013; 25:1207-1211; doi: 10.1111/clr.12263. Epub 2013 Sep 12
- Bengazi F., Botticelli D., Favero V., Perini A., Urbizo Velez J., Lang N.P.; Influence of presence or absence of keratinized mucosa on the alveolar bony crest level as it relates to different buccal marginal bone thicknesses. an experimental study in dogs; *Clinical Oral Implant Research*, 2014; 25:1065-71 ;doi: 10.1111/clr.12233. Epub 2013 Jul 29.
- Crespi R., Capparè P., Gherlone E.F.; Electrical mallet in implants placed in fresh extraction sockets with simultaneous osteotome sinus floor elevation; *The International Journal of Oral & Maxillofacial Implants* 2013;28:869-874; doi: 10.11607/jomi.2679
- Crespi R., Capparè P., Gherlone E.F.; Electrical mallet provides essential advantages in split-crest and immediate implant placement; *International Journal of Oral and Maxillofacial Surgery* 2014;18:59-64; doi: 10.1007/s10006-013-0389-2. Epub 2013 Jan 18
- Csonka M.; Split crest di una cresta molto sottile con il magnetic mallet; *Numeri Uno*, 2013,16:22-23
- Calesini G., Scipioni A.; Approccio rigenerativo sistematico finalizzato all'integrazione morfo-funzionale in implantopotesi
Numeri Uno, 16: 6-9, 2013
- Bressan E., Lang N.P., Corazza B., Rizzi S., Almagro Urrutia Z., Botticelli D.; The platform switching concept revisited. an experimental study in dogs. *Clinical Oral Implant Research*, 2013; 00:1-7; doi: 10.1111/clr.12262
- Corrente G., Abundo R., Greppi M., Perelli M., Villa A.; Posizionamento e ricostruzione dei tessuti duri e molli: un protocollo semplificato ; *Numeri Uno*, 2013, 17:14-17
- Guidi R., Viscioni A., Dattola F., Carinci F.; Dental implants inserted in native bone: cases series analyses.; *Dental Research Journal* 2012;9:s175-180; doi: 10.4103/1735-3327.109747

- Canullo L., Cicchese P., Marinotti F.; Valutazione di una procedura clinica e tecnica per la riabilitazione di mascellari edentuli; *Il dentista moderno*, 2012; Marzo: 86-102
- Covani U., Ricci M., Tonelli P., Barone A.; An evaluation of new designs in implant-abutment connections: a finite element method assessment; *Implant Dentistry* / volume 22, Number 3 2013; DOI: 10.1097/ID.0b013e318292625f
- Micarelli C., Canullo L., Grusovin M.G., Peñarrocha Oltra D.; Cell adhesion to titanium abutments after different cleaning procedures; *Clinical Oral Implants Research* 2013;24,79-102 (Suppl. 9); doi: 10.11607/jomi.2664
- Canullo L., Peñarrocha Oltra D., Covani U., Micarelli C., Massidda O.; Hard tissue response to plasma of argon cleaning treatment on titanium abutments: 2-year follow-up rct; *Clinical Oral Implants Research* 2013; 24:27-47 (Suppl. 9)
- Canullo L., Peñarrocha Oltra D., Micarelli C., Massidda O., Bazzoli M.; Risposta dei tessuti duri alla pulizia con plasma di argon/sterilizzazione di pilastri in titanio individualizzati, vs pulizia di 5 secondi con vapore: risultati di un studio controllato randomizzato in pazienti con una situazione parodontale favorevole con follow-up a 2 anni dal carico; *European Journal of Oral Implantology* 2013;6(3):251-60
- Canullo L., Peñarrocha Oltra D., Clementini M., Iannello G., Micarelli C.; impact of plasma of argon cleaning treatment on implant abutments in patients with a history of periodontal disease and thin biotype: radiographic results at 24-month follow-up of a rct; *Clinical Oral Implants Research* 2015;26(1):8-14; doi: 10.1111/clar.12290. Epub 2013 Nov 6
- Canullo L., Cassinelli C., Götz W., Tarnow D.; Plasma of argon accelerates murine fibroblast adhesion in early stages of titanium disk colonization; *The International Journal of Oral & Maxillofacial Implants* 2013;28(4):957-62; doi: 10.11607/jomi.2664
- Avellino W., De Maria A., Milan U., Tamagnone L., Delle Rose D.; Direct prosthetic framework (D.P.F.)
Numeri Uno, 2013; 17:18-20
- Agustín Panadero R., Fons Font A., Román Rodríguez J.L., Solá Ruiz M.F., Cebriá J.R.; Sobredentadura implantosoportada de inserción horizontal; *Gaceta Dental* 249, 2013; 100-112
- Sandri L.P.; Preparazione protesica mediante tecnica B.O.P.T.: caso clinico; *Numeri Uno*, 2013;17:6-8
- Canullo L., Cicchese P., Marinotti F., Sisti A.; Strategia protesica minimamente invasiva negli impianti post-estrattivi: posizionamento e avvistamento; *Il Dentista Moderno*, 2011, Dicembre: 46-54
- Bengazi F, Lang NP, Caroprese M, Velez JU, Favero V, Botticelli D; Dimensional changes in soft tissues around dental implants following free gingival grafting: an experimental study in dogs; *Clinical Oral Implant Research* 26, 176-182, 2015, doi: 10.1111/clar.12280
- Micarelli C, Canullo L, Giuliano I.; Implant/abutment connection deformation after prosthetic procedures - an in vitro study; *International Journal of Prosthodontics*, 1-9,2014, Early view in ahead of print, accepted July 21st, 2015 doi to be attributed
- Peñarrocha-Oltra D, Covani U, Peñarrocha M, Peñarrocha-Diago M.; Immediate versus conventional loading with fixed full-arch prostheses in mandibles with failing dentition: a prospective controlled study; *International Journal of Oral and Maxillofacial Implants* 30, 2015:427-434; doi: 10.11607/jomi.3534
- Prati C, Zamparini F, Ciulla A, Buonavoglia A, Gatto MR, Piattelli A, Gandolfi MG; Evaluation of marginal bone level of Premium implants; XXIII Congress SIO, Milano 6-7 febbraio Poster; 2015
- Gandolfi MG, Siboni F, Piattelli A, Prati C; Nano-topography, microchemical properties and calcium phosphate nucleation of Premium implants; 30th Annual Congress, American Academy of Osseointegration, San Francisco, 12-14 March Poster, 2015 Id 2088727
- Guazzotti PP; Carico immediato di impianti post estrattivi: presentazione di un caso clinico full-arch; *Doctor Os*, XXVI, 01, gennaio 24-29; 2015
- Penarrocha-Oltra D, Rossetti PHO, Covani U, Galluccio F, Canullo L; Microbial leakage at the implant/abutment connection due to implant insertion maneuvers: cross-sectional study 5 years post loading in healthy patients.; *Journal of Oral Implantology*, accepted for publication January 2015
- Agustín-Panadero R., Serra-Pastor B., Chust-López C., Fons-Font A., Ferreira A. ; Immediate placement of single implant simultaneously with immediate loading in a fresh socket associated to periapical infection: A clinical case report; *Journal of Clinical and Experimental Dentistry*, 7(1), 2015:175-9
- Canullo L., Peñarrocha-Oltra D., Covani U., Botticelli D., Serino G., Peñarrocha M.; Clinical and microbiological findings in patients with peri-implantitis: a cross-sectional study; *Clinical Oral Implant Research*, 00, 1-7,2015 ; doi: 10.1111/clar.12557
- Mainetti T, Lang NP, Bengazi F, Favero V, Soto Cantero L, Botticelli D; Sequential healing at implants installed immediately into extraction sockets. An experimental study in dogs; *Clinical Oral Implant Research*, 00, 1-9, 2014, doi: 10.1111/clar.12533
- Beolchini M, Lang NP, Gomez Moreno G, Iezzi G, Botticelli D, Calvo Guirado JL; Bone healing at implants with different surface configuration: an experimental study in dogs; *Clinical Oral Implant Research* 00, 1-7, 2015, doi: 10.1111/clar.12562
- Borgia V, Alfonsi F, Toti P, Tonelli P, Covani U, Barone A; Immediate restoration of post-extraction implants. A 7 years prospective single cohort study.; 30th Annual Congress, American Academy of Osseointegration, San Francisco, 12-14 March Poster ; 2015
- Kern JS, Kern T, Wolfart S, Heussen N; A systematic review and meta-analysis of removable and fixed implant-supported prostheses in edentulous jaws: post-loading implant loss; *Clinical Oral Implant Research*, 00, 1-22, 2015, doi: 10.1111/clar.12531
- Crespi R, Bruschi GB, Gastaldi G, Capparè P, Gherlone EF ; Immediate loaded implants in split-crest procedure; *Clin Implant Dent Relat Res.*, Mar 17. 2015 doi: 10.1111/cid.12316
- Martín Anciburo Miguel Ángel; Rehabilitación unitaria implantosoportada utilizando la técnica B.O.P.T.; *Numeri Uno* 04, 2015: 11-14
- Requena Gómez E., Cervantes Haro MN, Aragonese Lamas JM ; ¿Es la cirugía guiada junto a la carga inmediata una técnica predecible? A propósito de un caso clínico; *Numeri Uno* 04, 2015: 16-19
- Canullo L, Peñarrocha-Oltra D, Marchionni S, Bagán L, Peñarrocha-Diago MA, Micarelli C.; Soft tissue cell adhesion to titanium abutments after different cleaning procedures: Preliminary results of a randomized clinical trial.; *Medicina Oral y Patología Oral Cirugía Bucal*, published on line 2013 Oct 13, 2014 Mar 1;19(2): e177-83, doi: 10.4317/medoral.19329
- Pellicer-Chover H, Peñarrocha-Oltra D, Bagán L, Fichy-Fernandez AJ, Canullo L, Peñarrocha-Diago M; Single blind randomized clinical trial to evaluate clinical and radiological outcomes after one year of immediate versus delayed implant placement supporting full-arch prosthesis; *Medicina Oral y Patología Oral Cirugía Bucal*, 1; 19(3), 2014: 295-301, doi: 10.4317/medoral.19536
- Crespi R, Capparè P, Polizzi E, Gherlone E; Fresh-socket implants of different collar length: Clinical evaluation in the aesthetic zone; *Clinical Implant Dentistry and Related research*, 00, 2014 : 1-8, early view in ahead of print, first published on line 7 Feb 2014 doi 10.1111/cid.12202
- Negri B, López Marí M, Maté Sánchez de Val JE, Iezzi G, Bravo González LA, Calvo Guirado JL; Biological width formation to immediate implants placed at different levels in relation to the crestal bone - an experimental study in dogs; *Clinical Oral Implant Research*, 00, 2014: 1-11, Early view in ahead of print, accepted 06 January 2014 doi 10.1111/clar.12345,
- Strietzel FP, Neumann K, Hertel M ; Impact of platform switching on marginal peri-implant bone-level changes. A systematic review and meta-analysis; *Clinical Oral Implant Research*, 00, 2014: 1-16, Early view in ahead of print, accepted 11 December 2013, doi 10.1111/clar.123339
- Peñarrocha-Oltra D, Candel-Martí E, Peñarrocha-Diago M, Agustín-Panadero R, Canullo L, Peñarrocha M; The Horizontal Denture®: a prosthodontic alternative for Severe Maxillary Atrophy. A technical note; *Journal of Oral Implantology*, Early view in ahead of print, accepted 8 January 2014, 2014
- Maiorana C, Farronato D, Pieroni S, Cicciù M, Andreoni D, Santoro F; A four-year survival rate multicenter prospective clinical study on 377 implants - correlations between implant insertion torque, diameter and bone quality; *Journal of Oral Implantology*, 2014, Early view in ahead of print, accepted 11 February 2014
- Canullo L, Peñarrocha-Oltra D, Soldini C, Mazzocco F, Peñarrocha M, Covani U; Microbiological assessment of the implant-abutment interface in different connections: cross-sectional study after 5 years of functional loading; *Clinical Oral Implant Research*, 00, 2014: 1-9, Early view in ahead of print, accepted 22 February 2014, doi 10.1111/clar.12383
- Mainetti T, Lang N, Bengazi F, Sbricoli L, Soto Cantero L, Botticelli D.; Immediate loading of implants installed in a healed alveolar bony ridge or immediately after tooth extraction: an experimental study in dogs; *Clinical Oral Implant Research*, 00, 2014: 1-8, Early view in ahead of print, accepted 5 March 2014, doi 10.1111/clar.12389
- Engelhardt S, Papacosta S, Rathe F, Ozen J, Jansen J.A., Junker R.; Annual failure rates and marginal bone-level changes of immediate compared to conventional loading of dental implants. A systematic review of the literature and meta-analysis; *Clinical Oral Implant Research*, 00, 2014: 1-17, Early view in ahead of print, accepted 9 February 2014, doi 10.1111/clar.12363
- Bruschi GB, Crespi R, Capparè P, Grande N, Bruschi E, Gherlone E; Radiographic evaluation of crestal bone levels of delayed implants at 5 medium term follow up; *International Journal of Oral & Maxillofacial Implants*, 29;2014: 441-447 doi 10.11607/jomi.3254
- Sbordone C, Toti P, Martuscelli R, Guidetti F, Sbordone L, Ramaglia L; A 5-year implant follow-up in maxillary and mandibular horizontal osseous onlay grafts and native bone; *Journal of Oral Implantology*, Early view in ahead of print, accepted 4 March 2014; 2014

- Canullo L, Micarelli C, Bettazzoni L, Magnelli A, Baldissara P; Shear bond strength of veneering porcelain to zirconia after argon plasma treatment; *International Journal of Prosthodontics*, Mar-Apr, 27(2), 2014: 137-9, 2014 doi: 10.11607/ijp.3722
- Canullo L, Micarelli C, Bettazzoni L, Koçi B, Baldissara P; Zirconia-Composite bonding after plasma of argon treatment; *International Journal of Prosthodontics*, 27:267-269, 2014, doi: 10.11607/ijp.3686
- Peñarrocha-Oltra D, Peñarrocha-Diago M, Canullo L, Covani U, Peñarrocha Miguel; Patient-reported outcomes of immediate versus conventional loading with fixed full-arch prostheses in the maxilla: a non-randomized controlled prospective study; *The International Journal of Oral & Maxillofacial Implants*, 29 (3), 690-698; 2014
- Covani U, Canullo L, Toti P, Alfonsi F, Barone A; Tissue stability of implants placed in fresh extraction sockets - a 5 year prospective single cohort study; *Journal of Periodontology*, 85: 323-332, 2014, doi 10.1902/jop2014.140175
- De Santis E, Lang NP, Favero G, Beolchini M, Morelli F, Botticelli D.; Healing at mandibular block-grafted sites. An experimental study in dogs; *Clinical Oral Implant Research*, 00, 2014: 1-7, Early view in ahead of print, accepted 17 May 2014, doi 10.1111/clr.12434
- Crespi R, Bruschi GB, Capparè P, Gherlone E.; The utility of the electric mallet; *The Journal of Craniofacial Surgery*, 25 May (3), 793-795, 2014, doi 10.1097/SCS.0000000000000523;2014
- Covani U, Marconcini S, Ferrini F, Gelpi F, Finotti M, Barone A.; Post-traumatic use of dental implants immediately after tooth extraction - clinical study; *The Journal of Craniofacial Surgery*, 25 May (3), 796-798, 2014, doi 10.1097/SCS.0000000000000522
- Calesini G, Zarone F, Sorrentino R, Micarelli C, Fabianelli A, Papacchini F, Gherlone E.; Effect of 2 impression techniques on the dimensional accuracy of working implant prosthesis models - an in vitro study; *The Journal of Craniofacial Surgery*, 25 May (3), 822-827, 2014, doi 10.1097/SCS.0000000000000715
- Quaranta A, Andreana S, Pompa G, Procaccini M; Active implant peri-apical lesion - a case report treated via guided bone regeneration with a 5-year clinical and radiographic follow-up; *Journal of Oral Implantology*, 40 (3), 313-319, 2014, doi: 10.1563/AAL.JOI.D.11.00214
- J. Viña-Almunia ; Microbial colonization of the implant connection with cemented versus screw-retained suprastructures; Oral presentation ,Clinical research - Prosthodontically oriented
- EAO Congress, Rome 25-27 September 2014, *Clinical Oral Implant Research*, 25 (suppl. 10), 93, 2014
- Cocchetto R.; Improved cementation technique for implant restorations to avoid periimplant cement remnants: clinical and microscopical evaluation with two different abutment design; Oral presentation, Clinical research - Prosthodontically oriented
- EAO Congress, Rome 25-27 September 2014, *Clinical Oral Implant Research*, 25 (suppl. 10), 96; 2014
- Augustín-Panadero R, Serra-Pastor B, Roig-Vanaclocha A, Román-Rodríguez JL, Fons-Font A; Mechanical behavior of provisional implant prosthetic abutments; *Medicina Oral Patología Oral y Cirugía Bucal*, 1-9, 2014, Early view in ahead of print, accepted July 2014, doi 10.4317/medoral.19958,
- Micarelli C, Canullo L, Giuliano I.; Implant/abutment connection deformation after prosthetics procedures - an in vitro study ; *International Journal of Prosthodontics*, 1-9,2014, Early view in ahead of print, accepted July 21st, 2015 doi to be attributed
- Kinaia BM, Shah M, Neely AL, Goodies HE; Crestal bone level changes around immediately placed implants - A systematic review and meta-analyses with at least 12 months follow up after functional loading; *Journal of Periodontology*, 2014, early view in ahead of print, doi: 10.1902/jop2014.130722;2014
- Cicciù M, Bramanti E, Maticena G, Guglielmino E, Risistano G.; FEM evaluation of cemented-retained versus screw-retained dental implant single-tooth crown prosthesis; *International Journal of Clinical and Experimental Medicine* 7(4) , 2014: 817-825; doi: 1940-5901. ijcem.1402025
- Crespi R, Capparè P, Polizzi EM, Gherlone EF.; Tissue remodeling after bone expansion in grafted and ungrafted sockets; *The International Journal of Oral and Maxillofacial Implants*, 29, 2014: 699-704, , doi: 10.11607/jomi.3535
- Bruschi GB, Crespi R, Capparè P, Gherlone E.; Clinical Study of flap design to increase the keratinized gingiva around implants - a 4 year follow-up; *Journal of Oral Implantology*, 40(4) , 2014: 459-464, doi: 10.1563/aaaid-joi-d-11-00236
- Romanos GR, Javed F.; Platform switching minimises crestal bone loss around dental implants - truth or myth?; *Journal of Oral Rehabilitation*, 2014, early view in ahead of printing, accepted for publication 30 April 2014, doi 10.1111/joor.12189
- Gaspari L.; Tecnica conometrica con provvisorio elettrosaldato per carico immediato; *Italian Dental Journal*, agosto, 29; 2014
- Lumetti S, Galli C, Smerieri A, Macaluso G, Manfredi E, Ghiacci G, Di Blasio A, Megri M.; The effect of age, gender and insertion site on marginal bone loss around endosseous implants: results for a 3 year trial; *Poster, EAO Congress, Rome 25-27 September 2014, Clinical Oral Implant Research*, 25 (suppl. 10), 440; 2014
- Lumetti S, Di Blasio A, Manfredi E, Ghiacci G, Toffoli A, Bonanini M, Macaluso G, Galli C.; Implant surface microtopography affects the pater of cell growth, cell-to-cell contacts and the expression of Connexin 43; *Poster, EAO Congress, Rome 25-27 September 2014, Clinical Oral Implant Research*, 25 (suppl. 10), 222; 2014
- Caneva M, Lang NP, Calvo Guirado JL, Spriano AM, Iezzi G, Botticelli D.; Bone healing at bicortically installed implants with different surface configurations. An experimental study in rabbits; *Clinical Oral Implant Research*, 00, 2014: 1-7, Early view in ahead of printing, accepted 29 July 2014, doi:10.1111/clr.12475
- D'Ercole S, Tripodi D, Marzo G, Bernardi S, Continenza MA, Piattelli A, Iaculli F, Mummolo S.; Microleakage of bacteria in different implant-abutment assemblies: an in vitro study; *Journal of Applied Biomaterial and Functional Materials*, 2014, accepted June 12, 2014, doi: 105301/jabfm.5000214
- Peñarrocha-Oltra D, Peñarrocha-Diago M, Alloy-Prosper A, Covani U, Peñarrocha M.; Immediate versus conventional loading of complete-arch implant-supported prostheses in mandibles with failing dentition: a patient centered controlled prospective study; *Journal of oral and Maxillofacial Implants*, submitted; 2014
- Bowen Antolín A, Ariño B, Arlandi Garrido M.; Regeneración ósea periimplantaria con fosfato de calcio bifásico y ácido poliláctico; *Gaceta Dental*, 260(7), 2014: 174-186;
- Morelli F, Lang NP, Bengazi F, Baffone D, Vila Morales CD, Botticelli D.; Influence of bone marrow on osseointegration in long bones: an experimental study in sheep; *Clinical Oral Implant Research*, 00, 1-7, 2014, Early view in ahead of printing, accepted 29 August 2014, doi:10.1111/clr.12487
- Marchetti E, Ratta S, Mummolo S, Tecco S, Pecci R, Bedini R, Marzo G.; Evaluation of an endosseous oral implant system according to UNI EN ISO 14801 Fatigue Test Protocol; *Implant Dentistry*, 2014, Early View in ahead of print, doi: 10.1097/id.151
- Negri M, Galli C, Smerieri A, Macaluso GM, Manfredi E, Ghiacci G, Toffoli A, Bonanini M, Lumetti S; The effect of age, gender and insertion site on marginal bone loss around endosseous implants: results from a 3-year trial with Premium Implant System; *BioMed research International*, Volume 2014, Article ID 369051, 7 pages, doi. org/10.1155/2014/369051
- Esposito M, Ardebili Y, Worthington HV; Interventions for replacing missing teeth: different types of dental implants (Review); *The Cochrane Collaboration*, John Wiley and Sons, Ltd; 2014
- Mainetti T, Lang NP, Bengazi F, Favero V, Soto Cantero L, Botticelli D; Sequential healing at implants installed immediately into extraction sockets. An experimental study in dogs; *Clinical Oral Implant Research*, 00, 1-9, 2014, doi: 10.1111/clr.12533
- Crespi R, Capparè P, Gastaldi G, Gherlone EF; Immediate Occlusal loading of full-arch rehabilitations: screw-retained versus cement-retained prosthesis. An 8 year clinical evaluation; *International Journal of Oral & Maxillofacial Implants* 29, 2014:1406-1411; doi: 10.11607/jomi.3746
- Pradies Ramiro G., Abad Coronel C., García Martínez I., Ferreiroa Navarro A.; Impresiones fiables: dos propuestas para un mismo objetivo; *Numeri Uno*, 01, 2014, 6-9
- Machín Muñiz A.; Regeneración ósea y gingival en implantes inmediatos post-extracción; *Numeri Uno* 01 , 2014: 20-21
- Loi I.; Riabilitazione implanto-protetica di elemento incisivo frontale con impianto Prama; *Numeri Uno* 20, 2014: 12-13
- Loi I.; Riabilitazione implanto-protetica di ponte distale con impianti Prama; *Numeri Uno* 20, 2014: 14-15
- Gorni F.; Riabilitazione di elemento singolo in zona estetica con impianto Prama RF; *Numeri Uno* 20, 2014: 16-17
- Vedove F.; Riabilitazione di elemento singolo in zona estetica con impianto Prama; *Numeri Uno* 20, 2014: 18-19
- Andreoni D.; Riabilitazione di elemento singolo in posizione 4.6 con impianto Prama; *Numeri Uno* 20, 2014: 20-21
- Sandri L.P.; Utilizzo clinico dei nuovi impianti Prama: inserimento e riabilitazione con un singolo impianto; *Numeri Uno* 20, 2014: 22-24
- Csonka M.; Trattamento implantologico delle creste sottili: Split Crest o GBR?; *Numeri Uno* 19, 2014: 12-14
- Vischia F., Roncoroni F.; Ortodonzia protesica mediante tecnica B.O.P.T.; *Numeri Uno* 19, 2014: 19-21
- Schirripa G., Schirripa F.; Carico immediato; *Numeri Uno* 19, 2014: 22-24
- Baldi D., Colombo J., Pera P., Hauschild U.; Una tecnica minimamente invasiva: implantologia con utilizzo di impianti a diametro ridotto e tecniche CAD CAM per una provvisorizzazione a lungo termine; *Numeri Uno* 18, 2014: 6-9
- Gaspari L.; Implantopotesi conometrica elettrosaldato chairside a carico immediato - caso clinico; *Numeri Uno*, 18, 2014:12-14
- Loi I.; Tecnica B.O.P.T. su denti e impianti per la riabilitazione di

- un'arcata completa; Numeri Uno 18, 2014:21-22
- Morandini E.; La precisione nel Cr.Co. laser sinterizzato rivestito in ceramica; NumeriUno 17, 2013: 9-11 - NumeriUno 18, 2014: 16-19
- Loi I.; Técnica B.O.P.T. sobre dientes naturales; Numeri Uno 02, 2014: 8-9
- Loi I.; Técnica B.O.P.T. sobre dientes e implantes para la rehabilitación de los dos arcos completos; Numeri Uno 02, 2014 : 14
- Canullo L, Cassinelli C, Goetz W, Tarnow D; Il plasma di argon accelera l'adesione dei fibroblasti murini nelle fasi precoci della colonizzazione di dischetti in titanio; International Journal of Oral and Maxillofacial Implants 2013; 28: 957-962. DOI: 10.11607/jomi.2664
- Bengazi F, Botticelli D, Favero V, Perini A, Urbizo Velez J, Lang NP; Influence of presence or absence of keratinized mucosa on the alveolar bony crest level as it relates to different buccal margin bone thicknesses. An experimental study in dogs; Clinical Oral Implant Research, 00, 2013, 1-7, Accepted 26 June 2013, first published on line on 29/07/2013, DOI 10.1111/clr.12233
- Peñarrocha-Oltra D, Covani U, Aparicio A, Ata-Ali J, Peñarrocha-Diago Miguel, Peñarrocha-Diago María; Immediate versus conventional loading for the maxilla with implants placed into fresh and healed extraction sites to support a full-arch fixed prosthesis: nonrandomized controlled clinical study; International Journal of Oral and Maxillofacial Implants 2013; 28: 1116-1124 DOI: 10.11607/jomi.3119
- Covani U, Ricci M, Tonelli P, Barone A; An evaluation of new designs in implant-abutment connections: a finite element method assessment; Implant Dentistry, 2013, Jun22(3): 263-267, DOI 10.1097/ID.0b013e318292625f
- Crespi R, Capparè P, Gherlone EF.; Electrical mallet in implants placed in fresh extraction sockets with simultaneous osteotome sinus floor elevation; International Journal of Oral and Maxillofacial Implants, 2013; 28(3): 869-874, doi: 10.11607/jomi.2679
- Panadero RA, Fons Font A, Granell Ruíz M, Román Rodríguez JL, Solá Ruiz MF, Rubio Cebriá J; Sobredentadura implantosoportada de inserción horizontal; Gaceta Dental, 249: 100-112, 2013
- Beolchini M, Lang NL, Viganò P, Bengazi F, Triana BG, Botticelli D; The edentulous ridge expansion (ERE) technique - an experimental study in dogs; Clinical Oral Implant research, 2013: 1-7, published on line early view in ahead of print in September 2013, doi: 10.1111/clr.12262
- Bressan E., Lang NP, Corazza B, Rizzi S, Almagro Urrutia Z, Botticelli D; The Platform Switching concept revisited. An experimental study in dogs; Clinical Oral Implant research, 2013: 1-5, published on line early view in ahead of print in September 2013, doi: 10.1111/clr.12263
- Crespi R, Capparè P, Gherlone EF.; Electrical mallet provides essential advantages in split-crest and immediate implant placement; Oral and Maxillofacial Surgery, 2013, (18): published on line early view in ahead of print in January 2013, doi: 10.1007/s10006-013-0389-2
- Canullo L, Peñarrocha-Oltra D, Marchionni S, Bagán L, Peñarrocha-Diago MA, Micarelli C.; Soft tissue cell adhesion to titanium abutments after different cleaning procedures: Preliminary results of a randomized clinical trial.; Medicina Oral y Patología Oral Cirugía Bucal, published on line 2013 Oct 13, 2014 Mar 1;19(2): el 77-83, doi: 10.4317/medoral.19329
- Canullo L, Peñarrocha D, Peñarrocha M, Rocío A-G, Peñarrocha-Diago M.; Piezoelectric vs. conventional drilling in implant site preparation: pilot controlled randomized clinical trial with crossover design.; Clinical Oral Implant Research 00, 2013, 1-8, published on line early view in ahead of print in October 2013, doi: 10.1111/clr.12278
- Micarelli C, Canullo L, Grusovin MG, Peñarrocha Oltra D.; Cell adhesion to titanium abutments after different cleaning procedures; Clinical Oral Implant Research, 24(Suppl.9), 2013 : 79-102
- Canullo L, Peñarrocha D, Covani U, Micarelli C, Massidda O.; Hard Tissue response to plasma of argon cleaning treatment on titanium abutments - 2 year follow-up RCT; Clinical Oral Implant Research, 24(Suppl.9), 27-47, 2013
- De Risi V, Clementini M, Vittorini G, Mannocci A, De Sanctis M; Alveolar ridge preservation techniques: a systematic review and meta-analysis of histological and histomorphometrical data; Clinical Oral Implant Research, 00, 2013: 000-000, Early view in ahead of print, accepted September 2013, doi 10.1111/clr.12288
- Canullo L, Peñarrocha D, Clementini M, Iannello G, Micarelli C; Impact of plasma of argon cleaning treatment on implant abutments in patients with a history of periodontal disease and thin biotype - radiographic results at 24 months follow-up of a RCT; Clinical Oral Implant Research, 00, 2013: 000-000, Early view in ahead of print, accepted 18 September 2013, doi 10.1111/clr.12290
- Canullo L, Peñarrocha D, Micarelli C, Massidda O, Bazzoli M; Hard tissue response to argon plasma cleaning / sterilization of customized titanium abutments versus 5-second steam cleaning: results of a 2-year post-loading follow-up from an explanatory randomized controlled trial in periodontally healthy patients; European Journal of Oral Implantology. Autumn ; 6(3), 2013:251-60
- Petrillo N.; Carico immediato full arch mascellare e mandibolare: un nuovo approccio chirurgico e protesico; IL Dentista Moderno, 2013 Novembre 2013: 82-96
- Baffone G, Lang NP, Pantani F, Favero G, Ferri M, Botticelli D; Hard and soft tissue changes around implants installed in regular-sized and reduced alveolar bony ridges. An experimental study in dogs; Clinical Oral Implant Research, 00, Early view in ahead of print, accepted 28 October 2013: 1-6, doi 10.1111/clr.12306
- Beolchini M, Lang NL, Ricci E, Bengazi F, Garcia Triana B, Botticelli D; Influence on alveolar resorption of the buccal bony plate width in the edentulous ridge expansion (E.R.E.) - an experimental study in the dog; Clinical Oral Implant Research, 00, 2013: 1-6, Early view in ahead of print, accepted 28 October 2013 doi 10.1111/clr.12308
- Strietzel FP, Neumann K, Hertel M.; Impact of platform switching on marginal peri-implant bone-level changes. A systematic review and meta-analysis; Clinical Oral Implant Research, 00, 2014: 1-16, Early view in ahead of print, accepted 11 December 2013, doi 10.1111/clr.123339
- Morandini E.; La precisione nel Cr.Co. laser sinterizzato rivestito in ceramica; NumeriUno 17, 2013: 9-11 - NumeriUno 18, 2014: 16-19
- Sandri L.P.; Preparazione protesica mediante tecnica B.O.P.T.: caso clinico; Numeri Uno 17, 2013 :6-8
- Corrente G., Abundo R., Greppi M., Perelli M., Villa A.; Posizionamento e ricostruzione dei tessuti duri e molli: un protocollo semplificato; Numeri Uno 17, 2013:14-17
- Avellino W., De Maria A., Milan U., Tamagnone L., Delle Rose D.; Direct Prosthetic Framework (D.P.F.); Numeri Uno, 17, 2013: 18-20
- Figliuzzi M. M., De Fazio R., Tiano R., Scordamaglia F., Fortunato L.; Riabilitazione con impianto post-estrattivo immediato in zona estetica: Case Report; Numeri Uno 17, 2013:21-22
- Fadda M.; Caso clinico con M.F. Extrusion; Numeri Uno, 17, 2013:26
- Cardarelli F.; Effetti dentofacciali della terapia ortodontica in dentizione mista per la correzione delle II Classi; Numeri Uno 17, 2013: 28-31
- Calesini G., Scipioni A.; Approccio rigenerativo sistematico finalizzato all'integrazione morfo-funzionale in implantopotesi; Numeri Uno 16, 2013: 6-9
- Ponzi A.; Echo Plan: accuracy dell'implantologia guidata; Numeri Uno 16, 2013: 12-13
- Canullo L., Cicchese P., Marinotti F.; Riabilitazione implanto-supportata di entrambi i mascellari edentuli con carico immediato; Numeri Uno 16, 2013: 14-15
- Sisti A., Mottola M.P., Mottola P.; Riabilitazione bilaterale con chirurgia guidata; Numeri Uno 16, 2013: 16-18
- Csonka M.; Split crest di una cresta molto sottile con il Magnetic Mallet; Numeri Uno 16, 2013: 22-23
- Guidi R, Viscioni A, Dattola F, Carinci F; Dental implants inserted in native bone: cases series analyses; Dental Research Journal, 12(9), Issue 8 (Suppl Issue 2), 175-180; 2012
- Canullo L, Cicchese P, Marinotti F.; Valutazione di una procedura clinica e tecnica per la riabilitazione dei mascellari edentuli; IL Dentista Moderno, Marzo: 86-102, 2012
- Canullo L, Cicchese P, Marinotti F, Sisti A; Strategia protesica minimamente invasiva negli impianti post-estrattivi: posizionamento e avvistamento del moncone definitivo per protesi su impianti secondo il concetto del platform switching; IL Dentista Moderno, Dicembre: 46-54, 2011
- Segura Andrés G., Martínez Lage J. F., Ferreiroa A., Faus López J., Agustín Panadero R.; Rehabilitación protesica en un maxilar atrófico a consecuencia de un trauma facial; Gaceta Dental, 2013; 244:112-118
- Canullo L., Micarelli C., Clementini M.; Hard tissue response to argon plasma cleaning treatment on titanium abutments: 2-year follow-up RCT; European Journal of Oral Implantology, 6 (Suppl. Spring), 2013: S21-S22
- Rossi F., Lang N. P., De Santis E., Morelli F., Favero G., Botticelli D.; Bone-healing pattern at the surface of titanium implants: an experimental study in the dog; Clinical Oral Implant Research, Early View, First Published online on 2013, January 4th; DOI: 10.1902/jop.2010.100428
- Clementini M., Canullo L., Micarelli C.; Fibroblast growth on titanium disks treated by argon plasma: an in vitro triple-blinded study; European Journal of Oral Implantology, 6 (Suppl. Spring), 2013: S29-S30
- Canullo L., Micarelli C., Iannello G.; Microscopical and chemical surface characterization of the gingival portion and connection of an internal hexagon abutment before and after different technical stages of preparation; Clinical Oral Implant Research, 2013, 24: 606-611; DOI: 10.1111/j.1600-0501.2012.02499.x
- Canullo L., Heinemann F., Gedrange T., Biffar R., Kunert-Keil C.; Histological evaluation at different times after augmentation of extraction sites grafted with a magnesium-enriched hydroxyapatite: double-blinded randomized controlled trial; Clinical Oral Implant Research, Early View, First Published online on 2013, January 4th; DOI: 10.1111/clr.12035



rev. 10-18



Sweden & Martina S.p.A.

Via Veneto, 10
35020 Due Carrare (PD), Italy
Tel. +39.049.9124300
Fax +39.049.9124290
info@sweden-martina.com

www.sweden-martina.com

Sweden & Martina Mediterranea S.L. - España

info.es@sweden-martina.com

Sweden & Martina Lda - Portugal

info.pt@sweden-martina.com

Sweden & Martina Ltd - United Kingdom

info.uk@sweden-martina.com

Sweden & Martina Inc. - Distributor for U.S.

info.us@sweden-martina.com

Имплантаты, стандартные ортопедические компоненты и хирургические инструменты, содержащиеся в данном каталоге, являются устройствами медицинского назначения и произведены Sweden&Martina S.p.A. Они соответствуют стандартам UNIENISO 9001:2008 / UNIEN 13485:2012 и несут на себе маркировку CE (Класс I) и CE 0476 (Класс IIA и Класс IIB) в соответствии с Европейской директивой по устройствам медицинского назначения номер 93/42 и Европейской директивой номер 2007/47/CE.

Мы выполняем требования надлежащих производственных стандартов (GMP), сформулированных многими странами во всем мире, включая FDA в Соединенных Штатах. Содержание обновляется во время публикации. Узнайте в компании о наличии последующих обновлений.

Все торговые марки являются собственностью Sweden&Martina S.p.A., если не указано иное.

Данный материал предназначен для лабораторий и клиницистов и не предназначен для распространения среди пациентов.

Не допускается распространение, копирование или раскрытие данного материала без явно письменного согласия Sweden&Martina S.p.A. Дополнительная информация о продукте, включая показания, противопоказания, предостережения, а также потенциальные негативные воздействия, приведена на сайте Sweden&Martina S.p.A.